UNIVERSIDADE FEDERAL DE MATO GROSSO DO SUL PROGRAMA DE PÓS-GRADUAÇÃO EM CIÊNCIA ANIMAL CURSO DE MESTRADO

ANÁLISE HISTOMÉTRICA E DENSIDADE CELULAR DO INTESTINO DE PEIXES COM DIFERENTES HÁBITOS ALIMENTARES

Bruna Karla Assad Bellinate

CAMPO GRANDE MATO GROSSO DO SUL 2019

UNIVERSIDADE FEDERAL DE MATO GROSSO DO SUL PROGRAMA DE PÓS-GRADUAÇÃO EM CIÊNCIA ANIMAL CURSO DE MESTRADO

ANÁLISE HISTOMÉTRICA E DENSIDADE CELULAR DO INTESTINO DE PEIXES COM DIFERENTES HÁBITOS ALIMENTARES

HISTOMETRY AND CELL DENSITY ANALYSIS OF FISH INTESTINE ACCORDING TO EATING HABITS

Bruna Karla Assad Bellinate

Orientador: Prof. Dr. Carlos Eurico dos Santos Fernandes

Dissertação apresentada à Universidade Federal de Mato Grosso do Sul, como requisito à obtenção do título de Mestre em Ciência Animal. Área de concentração: Produção Animal

CAMPO GRANDE MATO GROSSO DO SUL 2019

AGRADECIMENTOS

Agradeço primeiramente a Deus, que me deu forças, sabedoria, saúde e discernimento.

À minha família, minha base e fonte de inspiração, pelos quais eu nunca desisti de lutar mesmo que as dificuldades perpassassem por minha cabeça. Meu agradecimento especial ao meu pai Oscar Antônio Bellinate, minha irmã Eduarda Cristina Assad Bellinate e meu namorado Lauremar Souza dos Santos Junior, por cada palavra de consolo dita nos momentos de desespero e também por cada momento que se alegraram com as minhas vitórias, eu amo muito vocês. Ainda em agradecimento ao meu pai, por me proporcionar a oportunidade de concluir esta pós-graduação, pois sem o apoio seu certamente eu não teria conseguido.

Ao meu orientador prof. Dr. Carlos Eurico dos Santos Fernandes primeiramente pela oportunidade, pelo aprendizado, pela amizade, pelo apoio e exemplo profissional.

Aos amigos Sandriely Fernanda Marcondes, Lílian Franco Belussi, Mayara Schueroff Siqueira, Taynara Ribeiro Farias Leão, Robson Andrade Rodrigues, André Luiz do Nascimento Silva, Karine Nathiele, Sabrina Fuzer Gonçalves, Brenda de Oliveira Martins, Maria Eduarda Corona Garcia, e Alexandre Welzel da Silveira do (LAPEX) Laboratório de Patologia Experimental, pela amizade, sugestões, auxílios e todas contribuições proporcionadas para o desenvolvimento desse trabalho.

À CAPES pela concessão da bolsa de estudo do mestrado.

À Universidade Federal de Mato Grosso do Sul que me proporcionou grandes aprendizados, contribuindo na minha formação profissional.

Resumo

BELLINATE, B.K.A. ANÁLISE HISTOMETRICA E DENSIDADE CELULAR DO INTESTINO DE PEIXES COM DIFERENTES HÁBITOS ALIMENTARES. 2019. Dissertação (Mestrado) - Faculdade de Medicina Veterinária e Zootecnia, Universidade Federal de Mato Grosso do Sul, Campo Grande, MS, 2019.

O Intestino é o órgão responsável pela digestão e absorção dos nutrientes, a mucosa intestinal pode apresentar modificações morfológicas entre as espécies de peixes, em razão dos distintos hábitos alimentares existentes. O objetivo do trabalho foi comparar a densidade celular e as características morfométricas de diferentes porções do intestino em peixes com hábitos alimentares distintos. Foram utilizados 20 espécimes juvenis (n=5) de Piaractus mesopotamicus (onívoro), Pseudoplatystoma corruscans (carnívoro), Oreochromis niloticus (fitoplanctófago) e Prochilodus lineatus (detritívoro), oriundos do setor de piscicultura da Universidade Federal de Mato Grosso do Sul (UFMS). Após a eutanásia em eugenol (450 mg L⁻¹), o intestino foi colhido, pesado, medido e fragmentado em 4 regiões, intestino anterior (A), médio anterior (MA), médio posterior (MP) e posterior (P). Após a fixação em solução de formol 10%, os segmentos do intestino foram submetidos ao processamento histológico de rotina em Paraplast (Sigma Aldrich®), cortados em 3 µm e corados com hematoxilina e eosina (H&E), ácido periódico de Schiff (PAS) e azul de alcian (AZ). Foram realizadas imagens digitalizadas (n=3; 5x, 400x e 1000x de magnitude) de cada secção histológica, usadas para mensurar os parâmetros morfométricos utilizando o software Motic Images Plus 2.0 (Motic®). O efeito da espécie com diferentes hábitos foi estimado dentro de cada região (ANOVA, teste de Tukey HSD). Pseudoplatystoma corruscans e P. mesopotamicus apresentaram parâmetros morfométricos na camada muscular externa e camada submucosa superiores (P<0,05) as demais espécies. Na camada muscular interna P. corruscans apresentou resultados superiores (P<0,05). Na região média posterior e posterior, O. niloticus obteve menor altura da vilosidade e de lamina própria. Na região anterior, P. corruscans obteve a menor largura da vilosidade. A densidade dos enterócitos variou apenas na região posterior, sendo superior (P<0,05) em P. mesopotamicus e inferior em O. niloticus. Na região média anterior, a densidade dos granulócitos foi superior (P<0,05) em P. lineatus e dos agraculócitos em O. niloticus. A região posterior, P. lineatus apresentou a maior população de granulócitos (P<0,05). A densidade das células caliciformes apresentou-se superior (P<0,05) em P.corruscans nas regiões média posterior e posterior. Com os resultados encontrados é possível concluir que o hábito alimentar das diferentes espécies afeta a densidade celular na mucosa intestinal e características morfométricas do intestino.

Palavras-chave: Células caliciformes, Peixe Carnívoro, Trato Digestivo.

Abstract

BELLINATE, B.K.A. HISTOMETRY AND CELL DENSITY ANALYSIS OF FISH INTESTINE ACCORDING TO EATING HABITS. 2019. Dissertação (Mestrado) - Faculdade de Medicina Veterinária e Zootecnia, Universidade Federal de Mato Grosso do Sul, Campo Grande, MS, 2019.

The intestine is the organ responsible for the digestion and absorption of nutrients, the intestinal mucosa can present morphological modifications among fish species, due to different dietary habits. The objective of this work was to compare the cell density and morphometric characteristics of different portions of the intestine in fish with different eating habits. Twenty juvenile (n = 5) specimens of *Piaractus mesopotamicus* (omnivore), *Pseudoplatystoma* corruscans (carnivorous), Oreochromis niloticus (phytoplankton) and Prochilodus lineatus (detritivore) were collected from the fishery sector of the Federal University of Mato Grosso do Sul (UFMS). After eugenol eugenol (450 mg L⁻¹), the intestine was harvested, weighed, measured and fragmented in four regions, anterior (A), anterior (MA), posterior (MP) and posterior (P). After fixation in 10% formalin solution, intestinal segments were submitted to routine histological processing in Paraplast (Sigma Aldrich®), cut into 3 µm and stained with hematoxylin and eosin (H & E), periodic acid Schiff (PAS) and alcian blue (AZ). Scanned images (n = 3, 5x, 400x and 1000x magnitude) of each histological section were used to measure the morphometric parameters using Motic Images plus 2.0 software (Motic®). The effect of the species with different habits was estimated within each region (ANOVA, Tukey HSD test). Pseudoplatystoma corruscans and Piaractus mesopotamicus presented morphometric parameters in the outer muscle layer and upper submucosa layer (P < 0.05) in the other species. In the internal muscular layer P. corruscans presented superior results (P <0.05). The posterior and posterior middle region, O. niloticus, had lower villus height and lamina propria. In the anterior region, P. corruscans had the lowest villous width. Enterocyte density varied only in the posterior region, being higher (P < 0.05) in P. mesopotamicus and lower in O. niloticus. In the anterior medium region, the granulocyte density was higher (P < 0.05) in P. lineatus and the grafts in O. niloticus. The posterior region, P. lineatus presented the largest population of granulocytes (P < 0.05). The density of goblet cells was higher (P < 0.05) in P. coruscans in the posterior and posterior regions. With the results found it is possible to conclude that the dietary habits of the different species affect the cell density in the intestinal mucosa and morphometric characteristics of the intestine.

Keywords: Goblet cells, Carnivorous Fish, Digestive Tract.

LISTA DE TABELAS

Tabela 1- Biometria e composição nutricional de rações comerciais fornecidas de acordo com
a espécie25
Tabela 2- Efeito principal de espécie, região do intestino e efeito interativo para variáveis
histométricas e da densidade celular
Tabela 3- Valores médios (± epm) de medidas morfométricas de acordo com a região do
intestino e espécies de peixes com diferentes hábitos alimentares30
Tabela 4- Valores médios (\pm epm) da vilosidade e lamina própria de acordo com a região do
intestino e espécies de peixes com diferentes hábitos alimentares31
Tabela 5- Valores médios (\pm epm) das medidas de densidade e volume celular de acordo com
a região do intestino e espécies de peixes com diferentes hábitos alimentares32

LISTA DE FIGURAS

Figura 1- Representação esquemática da colheita de fragmento do intestino em uma espécie de
peixe carnívoro. Linhas pontilhadas representam as subdivisões do intestino; setas representam
o local para colheita do fragmento tecidual; \mathbf{a} , região anterior; \mathbf{b} , região média anterior; \mathbf{c} , media
posterior; d , região posterior
Figura 2- Média e respectivos desvios padrões para variáveis biométricas obtidas em diferentes
espécies de peixes de acordo com o habito alimentar
Figura 3- Secções histológicas do intestino de Prochilodus lineatus (1) e Pseudoplatystoma
corruscans (2). 1A e 2A - região anterior do intestino. 1B e 2B - região média anterior do
intestino. 1C e 2C - região média posterior do intestino. 1D e 2D – região posterior do intestino.
Nas imagens 1A e 1D as setas mostram as células granulociticas presentes no intestino da
Prochilodus lineatus. Os enterócitos estão representados na imagem 1B (seta). Nas imagens 2B
e 2D as setas indicam as células caliciformes presentes no intestino do <i>Pseudoplatystoma</i>
corruscans40
Figura 4- Secções histológicas do intestino de Pseudoplatystoma corruscans (A), Piaractus
mesopotamicus (B), Prochilodus lineatus (C). Imagem A - Corte transversal do intestino com
respectivas camadas: Camada muscular externa (ME); camada muscular interna (MI); camada
submucosa (SM) e camada mucosa (M). $(2,5x)$ H&E. Imagem B - As retas indicam as medidas
lineares da altura da vilosidade (A) e largura da vilosidade (L). A seta indica a área da
vilosidade. Região anterior, PAS. Imagem C - As retas indicam as medidas lineares da altura
da lâmina própria (A) e largura da lamina própria (L). Região média anterior. H&E

SUMÁRIO

INTRODUÇÃO	8
1. REVISÃO DE LITERATURA	8
1.1 BIOLOGIA DAS ESPÉCIES ESTUDADAS	8
1.2 HÁBITO ALIMENTAR	10
1.3 ANATOMIA E MORFOLOGIA DO INTESTINO	10
1.4 HISTOLOGIA E FISIOLOGIA DO INTESTINO	12
REFERÊNCIAS BIBLIOGRÁGICAS	15
ANÁLISE HISTOMÉTRICA E DENSIDADE VOLUMÉTRICA DO INTESTINO) DE
PEIXES COM DIFERENTES HÁBITOS ALIMENTARES	20
Introdução	23
Material e Métodos	24
Resultados	27
Discussão	33
Conclusão.	36
Referências bibliográficas	36

INTRODUÇÃO

Os avanços tecnológicos nas áreas de melhoramento genético, manejo, sanidade e nutrição permitiram que as atividades aquícolas alcançassem patamares elevados quanto a produção e comercialização de proteína animal. O crescimento anual do setor e a qualidade nutricional da carne são alguns fatores que fazem o pescado ser cada vez mais procurado pelo consumidor e recomendado pela Organização Mundial da Saúde (OMS) (MPA, 2011).

Existe uma grande diversidade de espécies de peixes, com hábitos e comportamentos alimentares diversos, alguns autores ressaltaram a importância do conhecimento da morfologia do tubo digestivo dos peixes, por apresentar variações relacionadas a natureza do alimento ingerido e ao ambiente (AL-HUSSAINI, 1946; ANGELESCU e GNERI, 1949 e HIDALGO e ALLIOT, 1987).

A morfologia do trato digestório dos peixes está diretamente relacionada com as características da dieta e o estágio de desenvolvimento do indivíduo (BECKER et al., 2010). Investigação sobre hábitos alimentares por meio de análises morfológicas tem sido empregada para auxiliar na interpretação da dinâmica nutricional nas diferentes espécies de cultivo. (WOOTTON, 1990; SILVA et al., 2005; MONTENEGRO et al., 2011). O intestino está envolvido em importantes funções fisiológicas, sendo o principal órgão de digestão dos alimentos e absorção de nutrientes (CABALLERO et al., 2003), e a mucosa intestinal também pode apresentar modificações morfológicas em razão dos distintos hábitos alimentares entre as espécies (BALDISSEROTTO et al., 2014).

O conhecimento da mucosa intestinal dos peixes é importante para fornecer informações aos estudos de nutrição, de forma a atender às exigências nutricionais dos peixes, proporcionando saúde, favorecendo o bem-estar, além de auxiliar na obtenção de bons desempenhos pelos animais. Em razão disso, existe um aumento no interesse nos estudos morfológicos do sistema digestório dos peixes, uma vez que esses estudos possibilitam o desenvolvimento de uma piscicultura competitiva. E apesar de ser comum a criação de peixes sem o conhecimento de suas adaptações morfofisiológicas, esses fatos podem acarretar em erros nutricionais, tendo como consequência a deficiência alimentar, problemas relacionados ao índice de mortalidade e consequentemente ao custo de produção (SANTOS, 1999).

Existe uma escassez no número de trabalhos que estudam a morfologia das diferentes regiões do intestino nas espécies de peixes em geral e principalmente em espécies tropicais. Diante do exposto, este estudo teve como objetivo analisar as características histométricas e de densidade celular de diferentes regiões do intestino em espécies de peixes com diferentes hábitos alimentares.

1. REVISÃO DE LITERATURA

1. 1. BIOLOGIA DAS ESPÉCIES ESTUDADAS

PACU (Piaractus mesopotamicus)

O pacu (*Piaractus mesopotamicus*) é uma espécie tropical originária das Bacias do rio Paraná, Paraguai e Uruguai (GODOY, 1975; BICUDO,2008). Conhecido como pacu-caranha, caranha ou pacu-guaçu, na região neotropical, tem alto valor econômico, principalmente na região centro-oeste, onde é predominante (PETRERE,1989). A produção de peixes nativos (principalmente tambaqui, pacu, pirapitinga e seus híbridos) correspondem a 43,7% da produção, mais de 300 mil toneladas (PEIXE BR, 2018).

Esse peixe pertence à ordem Characiformes, família Characidae, subfamília Serrasalminae, gênero *Piaractus*, espécie *mesopotamicus*. Possui o hábito alimentar onívoro onde se alimentam de folhas, frutos, caules, flores e sementes, podendo se alimentar de insetos, moluscos e peixes (URBINATTI et al., 2010).

Com relação à reprodução, o pacu realiza a fecundação externa com desova total, isso ocorre após a migração. Quando em ambiente confinado essa espécie apresenta bloqueios no seu ciclo e só reproduz artificialmente por técnica de indução hormonal, ocorrendo durante o período de outubro a março (LIMA et al., 1991).

PINTADO (Pseudoplatystoma corruscans)

O pintado é uma espécie de peixe tropical que habita Bacias do Prata, São Francisco e Paraná (GODINHO et al. 1997). É um peixe de couro do gênero *Pseudoplatystoma* da família Pimelodidea, conhecida popularmente como surubim ou pintado. É a espécie de maior porte do gênero, podendo alcançar até 120 kg (SATO et al., 2003). A produção de surubins no Brasil em 2017 foi de 13.427.627 kg (IBGE, 2017).

O surubim apresenta grande valor comercial devido ao seu grande porte e à carne bastante apreciada pelo consumidor, por não possuir mio-espinhos. Possui o hábito alimentar carnívoro, alimentando-se principalmente de pequenos peixes.

Com relação a reprodução essa espécie entra em período reprodutivo na época das chuvas - entre os meses de outubro e janeiro (GODINHO et al. 1997; BRITO e BAZZOLI, 2003), quando fêmeas atingem a maturidade sexual chegam a liberar até 1,5 milhões de ovos (SATO et al., 2003).

TILÁPIA DO NILO (Oreochromis niloticus)

A tilápia do Nilo é um peixe exótico, natural da África e por ser uma espécie rústica para piscicultura, teve sua distribuição expandida para todos os continentes nos últimos anos (LOVSHIN, 1997). A espécie *Oreochromis niloticus* (tilápia do Nilo), foi introduzida no Brasil em 1997. É uma espécie bastante rústica, de hábito alimentar fitoplanctófago (SANTIAGO et al., 1987).

É a mais importante espécie de peixes cultivados do Brasil. Segundo levantamento da Associação Brasileira da Piscicultura, a espécie representa 51,7% da Piscicultura nacional, com 357.639 toneladas em 2018 (PEIXE BR, 2018).

É de fácil reprodução e obtenção de alevinos, possui a capacidade de aproveitar alimentos naturais em viveiros, tem excelente crescimento em cultivo intensivo, grande rusticidade, tolerância a baixos níveis de oxigênio dissolvido e da resistência a doenças (KUBITZA, 2000).

CURIMBÁ (Prochilodus lineatus)

Este gênero é de grande importância para a pesca comercial de vários países da América do Sul, no Brasil é um dos principais peixes pescados nos rios (FAO,2016).

São animais que possuem o habito alimentar detritívoro, se alimentam de restos orgânicos, essa espécie é encontrada nos rios das bacias Solimões-Amazonas, Tocantins, São Francisco, Paraná-Paraguai, Paraíba do Sul e Uruguai (SIVASUNDAR et al., 2001).

Os curimbas realizam migrações para fins reprodutivos, onde apresentam desova única, fecundação externa e ausência de cuidado parental (PAIVA et al., 2002).

1.2. HÁBITO ALIMENTAR

Os peixes apresentam grande diversidade de hábitos e comportamentos alimentares, no qual se tem uma variação estrutural em seu aparelho digestivo, organizado estruturalmente em cavidade buco-faringiana, tubo digestivo constituído geralmente de esôfago, estômago e intestino, e as glândulas anexas, fígado e pâncreas (ROMER e PARSONS, 1985). A morfologia do sistema digestivo dos peixes se desenvolveu para que a ingestão, digestão e assimilação dos nutrientes fossem adequadas para cada hábito alimentar (RUST, 2002).

Existem várias classificações quanto aos hábitos alimentares. ANGELESCUS e GNEI (1949), NIKOLSKY (1963) e CASTAGNOLLI (1992) relacionaram o habito alimentar com o

tipo de boca, devido à seleção e captura do alimento. PREJS (1981) e ROTTA (2003), relacionaram o hábito alimentar de acordo com a natureza do alimento ingerido, dividindo em quatro categorias, carnívoros, herbívoros, onívoros e detritívoros.

1. 3. ANATOMIA E MORFOLOGIA DO INTESTINO

O sistema digestivo é um tubo que vai da boca ao ânus, pelo qual são processados os alimentos após a ingestão. No geral, diferencia-se em quatro regiões distintas: bucofaringe, esôfago, estômago e intestino (FIERTAK, 2002). Dentre estas, o intestino destaca-se pelas suas funções principais associadas à digestão e absorção dos nutrientes da dieta (BECKER, 2010).

A posição da boca nos peixes pode ser dorsal, terminal, semi-ventral ou ventral (NIKOLSKY, 1963). Como os órgãos do sistema digestório, os diferentes formatos da boca estão relacionados a condições diversificada dos níveis tróficos e consequentemente com a disponibilidade de alimento (Al-HUSSAINI, 1947; RUST, 2002). Os peixes que apresentam grande abertura bucal em sua maioria são de hábito carnívoro. A boca pequena e com abertura estreita, que auxiliam na sucção do alimento e raspagem do substrato estão presente geralmente em peixes de hábito detritívoro e herbívoro (ALBRECHT et al., 2001).

O estômago desempenha funções mecânicas e químicas que auxiliam no início da digestão (BALDISSEROTTO, 2009; OLSSON, 2011). A sua anatomia varia conforme exista diferença ou mesmo semelhança no hábito alimentar (BALDISSEROTTO, 2009; NRC, 2011). Levando em consideração o formato pode ser classificado em três tipos: retilíneo, sifoide e cecal. (OLSSON,2011; SMITH, 1980). O tamanho do estômago está diretamente relacionado com a natureza da dieta e com o intervalo entre as alimentações (KOPOOR et al., 1975). Peixes com o hábito detritívoro apresentam o estômago com reduzida capacidade de armazenamento e com fortes contrações para facilitar na fragmentação do alimento ingerido, peixes carnívoros apresentam estômago relativamente grande em comparação aos demais hábitos (BALDISSEROTTO, 2009).

O intestino inicia logo após o piloro, já em peixes sem estômago o intestino inicia logo após o esôfago e pode apresentar um alargamento e formar um bulbo intestinal para armazenamento temporário do alimento em algumas espécies (SMITH, 1980). A função primária do intestino é completar o processo de digestão iniciada no estômago e absorver os nutrientes, água e íons (BALDISSEROTTO, 2009).

Segundo BERTIN (1958) o intestino pode ser subdividido em região anterior, região média e região posterior. Esta divisão, embora seja relativamente arbitrária, é amplamente

utilizada por vários autores (MENIN, 1988; SEIXAS FILHO, 1998; SANTOS, 1999; SOUZA, 1999). Ao longo do intestino dos peixes estão presentes as vilosidades, que são importantes para aumentar a área de contato e favorecer a absorção dos nutrientes (CYRINO et al., 2010).

Algumas espécies possuem cecos pilóricos, que são projeções digitiformes da região proximal (GENTEM et al., 2009). Os cecos pilóricos possuem estrutura histológica semelhante ao intestino, sendo uma adaptação para aumentar a área do intestino, geralmente mais desenvolvido em peixes com hábitos alimentares carnívoros, pelo fato do seu comprimento intestinal ser reduzido em relação aos demais hábitos (GENTEM et al., 2009).

O comprimento intestinal aumenta na seguinte ordem: carnívoro, onívoro, herbívoro e detritívoro (ROTTA, 2003). Nos peixes carnívoros o intestino é curto, mas a quantidade de alimento ingerido é menor, e o trânsito desse alimento é mais lento. Esse trânsito mais lento é importante, pois os nutrientes precisam se difundir para dentro das pregas que existem na mucosa intestinal antes de serem absorvidos (CYRINO et al., 2010).

Os peixes herbívoros e detritívoros possuem uma grande ingestão de alimentos e um rápido trânsito desse alimento no intestino, distribuem a superfície de absorção em um longo intestino com a mucosa pouco pregueada. O fato do intestino ser longo permite que o alimento permaneça mais tempo em contato com as enzimas aumentando assim a sua eficácia na digestão (BALDISSEROTO e VAL, 2002).

1. 4. HISTOLOGIA E FISIOLOGIA DO INTESTINO

A estrutura histológica da parede intestinal dos peixes é formada por quatro camadas: mucosa, submucosa, muscular e serosa (GENTEM et al., 2009). A mucosa é constituída por uma monocamada de células epiteliais cilíndricas, os enterócitos (WILSON e CASTRO, 2011). A submucosa é formada por camadas de tecido conjuntivo de sustentação e músculo liso, disposta longitudinalmente (WILSON e CASTRO, 2011). Esta camada também é chamada de lâmina própria, uma vez que possui vasos sanguíneos que irrigam a mucosa. (GENTEM et al., 2009; MOKHTAR, 2017). A camada serosa é constituída por epitélio escamoso simples revestida por uma fina lâmina de tecido conjuntivo (GENTEM et al., 2009; HONORATO et al., 2011).

A camada mucosa apresenta uma variável quantidade de células dendríticas (apresentadoras de antígenos), agregados linfoides, macrófagos e rodlet cells que circulam entre os enterócitos (PETERSON, 2015). O epitélio da mucosa intestinal é composto pelos enterócitos, que constituem uma monocamada de células colunares ricas em microvilosidades,

células caliciformes e células endócrinas espalhadas (ROMBOUT et al., 1985). As células caliciformes localizam-se entre os enterócitos e são responsáveis pela secreção de muco e várias enzimas digestivas. Esse muco é constituído por glicoproteínas hidrofílicas, que protegem e lubrificam o revestimento do intestino (ROMBOUT et al., 1985). O muco secretado dificulta a adesão de microrganismos patogênicos e também atua como bactericida devido à presença de lisozima (NOGA, 1995), influenciando diretamente na saúde dos animais. O aumento no número de células caliciformes está associado a processo de agressão causado por infecções bacterianas, parasitárias, produtos químicos, entre outros (SCHWARZ et al., 2011).

Estudos têm mostrado a importância das células caliciformes na saúde dos peixes. Juvenis de tilápias-do-nilo (*Oreochromis niloticus*) alimentados com dietas contendo *Bacillus cereus* e *Bacillus subtilis* como probióticos, apresentaram aumento no número de células caliciformes no epitélio intestinal (MELLO et al., 2013). Entretanto, SCHWARZ et al., (2011) não encontraram diferença significativa no número destas células em larvas, quando alimentadas com dietas contendo mananoligossacarídeo. Portanto, conclui-se que a presença das células caliciformes pode variar de acordo com a dieta e o estágio de vida da espécie.

As células endócrinas, voltadas para a lâmina própria, secretam hormônios que ajudam a regular os processos digestivos (CHECHIM, 2013). A camada submucosa possui grande quantidade de células granulocíticas e agranulocíticas (ROMBOUT et al., 1985). As células eosinofílicas granulocíticas contem peptídeos antimicrobianos e sua degranulação pode aumentar a permeabilidade vascular e promover adesão de neutrófilos, sugerindo um envolvimento com a imunidade inata (ROMBOUT et al., 1985). Na grande maioria dos peixes a túnica muscular tornou-se bem desenvolvida para realizar a atividade peristáltica (GENTEM et al., 2009).

Ao longo do intestino, encontram-se as vilosidades ou vilos intestinais, que são evaginações da mucosa intestinal compostas pelo epitélio e lâmina própria, que se projetam na luz do intestino aumentando significativamente a área de superfície intestinal (GENTEM et al., 2009). O conhecimento da mucosa intestinal dos peixes é importante para fornecer informações aos estudos de nutrição pelo fato das vilosidades intestinais estarem relacionadas com a capacidade de absorção de nutrientes pelo animal (CECHIM, 2013). Usualmente, o aumento do número das células epiteliais (enterócitos, células caliciformes e células endócrinas), correspondendo ao aumento na altura e densidade dos vilos (MELLO et al., 2013). Quanto mais íntegra a mucosa, maior será o tamanho das vilosidades intestinais e maior a absorção de nutrientes (GARCIA, 2008), influenciando diretamente no desempenho e saúde dos peixes (SILVA et al., 2010).

Do ponto de vista fisiológico, o intestino dos peixes pode ser dividido em três segmentos. O primeiro, conhecido como segmento proximal, encontra-se relacionado com a absorção de gordura sendo o seu epitélio constituído por células prismáticas altas, também chamadas de células absortivas além das células caliciformes (ROMBOUT et al., 1985).

Existe um maior número de células mucosas no intestino proximal devido ao fato de estas possuírem uma função de proteção da superfície dos enterócitos contra o conteúdo proveniente do estômago (LUNDSTEDT et al., 2004). O segundo segmento ou segmento médio é responsável pela absorção de macromoléculas proteicas, contendo maior número de células caliciformes em relação ao segmento anterior, e possui uma elevada concentração de vesículas pinocíticas em sua região supra nuclear (ROMBOUT et al., 1985). Nesse segmento ainda foi descrito a presença de proteínas marcadoras de pinocitose no citoplasma dos enterócitos, como a ferritina (ROMBOUT et al., 1985). A mucosa intestinal do segmento médio apresenta uma população de macrófagos superior às demais regiões intestinais (NOGA, 1995). O terceiro segmento ou distal está relacionado com a absorção de água e eletrólitos, com o epitélio apresentando maior número de células caliciformes e cutícula estriada mais baixa (MELLO, 2013). No entanto, os processos fisiológicos de digestão e absorção relacionam-se com o desenvolvimento das dobras da camada mucosa, quanto maior o número de dobras maior a capacidade de absorção (ANGELESCU e GNERI, 1949; MORAES e BARBOLA, 1995). Além disso, a transporte do bolo alimentar pode ser regulado pelo arranjo da camada mucosa. Nos animais carnívoros o trânsito intestinal é mais lento o que favorece a absorção dos nutrientes (FLORES QUINTANA et al., 1997; SEIXAS FILHO et al., 2001).

LUNDSTEADT (2003), ao estudar os diferentes cortes do intestino, anterior, médio e posterior, de pintados (*Pseudoplatystoma corruscans*) verificou alterações morfológicas das diferentes porções do intestino em função da variação nos níveis de proteínas da dieta. HONORATO et al., (2011) analisaram a histologia e a histoquímica do intestino anterior de tilápias alimentadas com dietas contendo silagem de peixe, e observaram que a espessura da vilosidade intestinal dos peixes alimentados com silagem fermentada de resíduo de tilápia foi influenciada pelos teores proteicos das dietas. Os autores observam que a variação da intensidade de secreção de glicoproteínas pelas células caliciformes está diretamente ligada com o tipo de dieta fornecida aos animais. Esse estudo demonstrou que a espécie pode adaptar seu sistema de secreção para a proteção do aparelho digestório durante a absorção de diferentes fontes proteicas.

REFERÊNCIAS BIBLIOGRÁGICAS

- 243 ALBRECHT, M.P., FERREIRA, M.F.N. & CARAMASCHI, E.P. Anatomical features and
- 244 histology of the digestive tract related. Neotropical omnivorous fishes (Characiformes;
- 245 Anostomidae). J. Fish. Biol. 58:419-430. 2001.
- 246 Al-HUSAMI W, YTURRALDE F, MOHANTY G. Single-center experience with the Tandem
- 247 Heart percutaneous ventricular assist device to support patients undergoing high-risk
- percutaneous coronary intervention. J Invasive Cardiol; 20: 319–322. 1946.
- AL-HUSSAINI, A.H. The feeding habit and the morphology of the alimentary tract of some
- 250 teleosts living in the neighbourhood of the Marine Biological Station, Ghardaqa, Red Sea. *Publ.*
- 251 *Mar. Biol. Stat.*, 5:4-61. 1947.
- 252 ANGELESCUS, V. E GNERI, F. S. Adaptação do trato digestório e regime alimentar em
- alguns peixes do rio Uruguai e del rio de la Plata. Ver. Inst. Invest. Mus. Argent. Cienc. Nat.,
- 254 v.1, n.6: p.161-272, 1949.
- BALDISSEROTTO, B. Fisiologia de peixes aplicada à piscicultura. Santa Maria: Ed. UFSM.
- 256 350p. 2009.

- BALDISSEROTTO, B.; VAL, A.L. Ion fluxes of metynnis hypsauchen, a teleost from the Rio
- Negro, Amazon, exposed to an increase of temperature. Brazilian Journal of Biology, Sao
- 259 Paulo, v.62, n.4B, p.749-752, 2002.
- 260 BECKER, A. G., GONÇALVES, J. F.; GARCIA, L. O. et al. Morphometric parameters
- 261 comparisons of the digestive tract of four teleost with different feeding habits. Ciência Rural,
- 262 Santa Maria, v. 40, p. 862-866, 2010.
- BERTIN, L. Appareil digestif. Traité de zoologie. V.13, Paris: Masson, p. 1249-1301, 1958.
- 264 BICUDO, A.J.A. Exigências nutricionais de juvenis de pacu (*Piaractus mesopotamicus*):
- proteína, energia e aminoácidos. 123 f. Tese (Doutorado em Ciência Animal e Pastagens) –
- Escola Superior de Agricultura "Luiz de Queiroz", Universidade de São Paulo, Piracicaba, SP.
- 267 2008.
- BRITO, M.F.G.; BAZOLLI, N. Reproduction of the surubim catfish (Pisces, Pimelodidae) in
- 269 the Sao Francisco River, Pirapora Region, Minas Gerais, Brazil. Arquivo Brasileiro de
- 270 Medicina Veterinaria e Zootecnia, v.55, p.624-633, 2003.
- 271 CABALLERO, M.J.; IZQUIERDO, M.S.; KJØRSVIK, E.; MONTERO, SOCORRO, D. J.,
- FERNANDEZ, A.J.; ROSENLUND, G. Morphological aspects of intestinal cells from gilthead
- seabream (Sparus aurata) fed diets containing different lipid sources. Aquaculture, v.225,
- p.325–340, 2003.
- 275 CASPARY, W.F. Physiology and pathophysiology of intestinal absorption. Am. J. Clin. Nutr.
- 276 55:299-308. 1992.
- 277 CASTAGNOLLI, N. Piscicultura de água doce. Jaboticabal: Funep. 189p. 1992.
- 278 CASTAGNOLLI, N. Aquicultura para o ano 2000. Brasília: CNPq, 1996. 96p. 2000.

- 279 CECHIM F.E. Características morfológicas do epitélio intestinal e desempenho de Tilápia-do-
- Nilo, *Oreochromis niloticus*, suplementada com mananoligossacarídeo (MOS). Dissertação de
- 281 Mestrado em Produção Animal, Programa de Pós-Graduação em Zootecnia, Universidade
- Tecnológica Federal do Paraná, Dois Vizinhos, Paraná, 2013.
- 283 CYRINO, J.E.P.; BICUDO, A.J.A.; SADO, R.Y.; BORGHESI, R.; DAIRIKI, J.K. A
- piscicultura e o ambiente: o uso de alimentos ambientalmente corretos em piscicultura. Revista
- brasileira de zootecnia, Viçosa, v. 39, p.68-87, 2010.
- 286 FAO FOOD AND AGRICULTURE ORGANIZATION. Global aquaculture production
- 287 statistics 2017. Rome: FAO, 2018. 256 p.
- FIERTAK, A.; KILARSKI, W.M. Glycoconjugates of the intestinal goblet cells of four
- 289 cyprinids. Celular and molecular life Science, Basel, v.59, p.1724-1733, 2002.
- 290 FLOREZ QUINTANA, C.I.; PEREYRA, L.A.; DOMITROVIC, H.A.; ROUX, J.P.;
- 291 SAMPIETRO, J.C. Estructura histológica del aparato digestivo de surubi (*Pseudoplatystoma*
- 292 coruscans y Pseudoplatystoma fasciatum) (Pisces, Siluriformes) Actas Reunión de
- 293 Comunicaciones Científicas y Tecnológicas UNNE II, v.4, p. 17-20, 1997.
- FLORES QUINTANA, C.; MORAES, F.R. Respuesta inflamatória a la inoculación de LPS em
- 295 pacu (Piaractus mesopotamicus) suplementados con cromo. Revista de Ictiologia, Corrientes,
- 296 v.9, p.13-19, 2001.
- 297 GENTEN, F.; TERWINGHE, E.; DANGUY, A. Atlas of fish histology. Enfield: Science Publ.,
- 298 215p. 2009.
- 299 GARCIA, F. Suplementação alimentar com β-glucano e mananoligossacarídeo para tilápias do
- Nilo em tanques-rede. 2008. 100 f. Tese (Doutorado em Aquicultura) Centro de Aquicultura,
- 301 Universidade Estadual Paulista "Júlio de Mesquita Filho", Jaboticabal, 2008.
- 302 GODINHO, H. P. Estratégias reprodutivas de peixes aplicadas a aquicultura: Bases para o
- 303 desenvolvimento de tecnologias de reprodução. Revista Brasileira de Reprodução Animal,
- 304 v.31, p.351-360, 2007.
- 305 GODOY, M.P. Peixes do Brasil: subordem Characoidei. Bacia do Rio Mogi-Guassu.
- 306 Piracicaba, v.1, n.4, 216p, 1975.
- HERNANDES, M. P. G. E AGULLEIRO, B. Ontogeny of the endocrine pâncreas in sea bass-
- 308 ultrastructural study. Cell Tissue Res., v.270: p.339-352. 1992
- 309 HIDALGO, F., ALLIOT, E. La digestion en los peces, in. Espinosa De Los Monteros, J.,
- 310 Labarta, U. (Eds., Nutricion en Acuicultura, CAYCIT Plan de Formacion de Tecnicos
- 311 Superiores en Acuicultura, Madrid, pp. 85-122. 1987.
- 312 HONORATO, C.A.; CRUZ, C.; CARNEIRO, D.J.; MACHADO, M.R.F. Histologia e
- 313 histoquímica do intestine anterior de tilápias do Nilo alimentadas com dieta contendo silagem
- de peixe. Brazilian Jounal of Veterinary Research and Animal Science, São Paulo, v.48, n.4,
- 315 p.281-288, 2011.
- 316 IBGE, Instituto Brasileiro de Geografia e Estatística. 2017. Disponível em:www.ibge.gov.br.
- 317 Acesso em: maio 2017.

- 318 KOPOOR, B.G., SMIT, H., VERGHINA, I.A. The alimentary canal and digestion in fish.
- 319 Advances in Marine Biology, 13:109-239. 1975.
- 320 KUBITZA, F. Tilápia: tecnologia e planejamento na produção comercial. Jundiaí: Fernando
- 321 Kubitza, 2000.
- LIMA, G. BERNARDINO, M.V. VAL-SELLA, F. FAVA De MORAES, R.A. SCHEMI, M.I.
- 323 BORELLA. Tecido germinativo ovariano e ciclo reprodutivo de pacu P. mesopotamicus,
- durante o ciclo reprodutivo, em condições de confinamento Bol. Tec. pp. 1-46. 1991.
- LOVSHIN, L.L. Tilápia farming: a growing worldwild aquaculture industry. In: SIMPÓSIO
- 326 SOBRE MANEJO E NUTRIÇÃO E PEIXES, 1, Piracicaba. Anais...Piracicaba: Colégio
- 327 Brasileiro de Nutrição Animal, 1997. p.137. 1997.
- 328 LUNDSTEDT, L. M.; MELO, J. F. B.; MORAES, G. Digestive enzymes and metabolic profle
- 329 o± Pseudoplatystoma corruscans (Teleostei: Siluriformes) in response to diet composition.
- Comparative Biochemistry and Physiology, Amsterdam, v. 137B, n. 3, p. 331-339, 2004.
- 331 MPA Ministério da Pesca e Aquicultura
- http://www.mpa.gov.br/#aquicultura/informacoes/producao; acesso 27 de abril de 2017.
- 333 MELLO H., MORAES J.R.E., NIZA I.G., MORAES F.R., OZÓRIO R.O.A., SHIMADA M.T.,
- ENGRACIA FILHO J.R. & CLAUDIANO G.S. Efeitos benéficos de probióticos no intestino
- de juvenis de Tilápia-do-Nilo. Pesq. Vet. Bras. 33:724-730, 2013.
- 336 MENIN, E. Anátomo-histologia funcional comparativa do aparelho digestório de seis Teleostei
- 337 (Pisces) de água doce. São Paulo, SP: USP, 1988. 557p. Tese (Doutorado em
- Anátomofisiologia) Universidade de São Paulo, 1988.
- 339 MENIN, E. Anatomia funcional e morfometria do intestino do Teleósteo de água doce surubim
- 340 (Pseudoplatystoma coruscans, 1829). Revista Brasileira Zootecnia, 30 (6): 01-13, 2003.
- 341 MOKHTAR, D. M. Fish Histology from Cells to Organs, Apple Academic Press, Canada,
- 342 2017.
- MONTENEGRO, L. A.; DAMASCENO, D. N. F.; ALMEIDA, R. G.; CHELLAPPA, S.
- Biologia alimentar do mussum, Synbranchus marmoratus (Bloch, 1795) no açude Marechal
- Dutra localizado no semiárido brasileiro. Biota Amazônia, v. 1, p. 52-60, 2011.
- MORAES, M. F. P. G. & I. F. BARBOLA. Hábito alimentar e morfologia do tubo digestivo de
- 347 Hoplias malabaricus (Osteichthyes, Erythrinidae) da Lagoa Dourada, Ponta Grossa, Paraná,
- 348 Brazil. Acta Biol. Par., 24(1,2,3,4): 1-23. 1995.
- NIKOLSKY, G. V. The ecology of fishes. London: Academic Press, 325p. 1963.
- NOGA, E.J. Fish disease: diagnosis and treatment. Saint Louis: Mosby-Year Book. 367p. 1995.
- NOGUEIRA, A. C; RODRIGUES, T. Criação de tilápias em tanques-rede. Salvador: SEBRAE
- 352 Bahia, p.23, 2007.
- NRC. Nutrient requirements of fish and shrimp. 3. ed. National Academy Press, Washington,
- 354 D.C, 2011.

- OLSSON, C. The gut. Gut anatomy and morphology: Gut anatomy. P. 1268-1275. In:
- FARRELL, A. P. (ed.) Gas Exchange, Internal Homeostatis, and Food Uptake. Encyclopedia
- of Fish Physiology: From Genome to Environment. Academic Press: San Diego, CA, USA,
- 358 2011.
- PAIVA, M. P; ANDRADE TURBINO, M. F.; GODOY, M.P. As represas e os peixes nativos
- do rio Grande. Bacia do Paraná-Brasil. Ed. Interciência, Rio de Janeiro, p.78, 2002.
- 361 PEIXE BR, Associação Brasileira da piscicultura, 2018. Disponível em
- 362 https://www.peixebr.com.br. Acesso em: Janeiro 2019.
- PETRERE, M. Pesca e esforço de pesca no estado do Amazonas. II. Locais e aparelhos de
- captura e estatística de desembarque. Acta Amazonica, 8(2): 1-54. 1989.
- PREJS, A. Métodos para el studio de los alimentos y las relaciones troficas de los peces.
- Universidad Central de Venezuela y Universidad de Varsóvia, 129p. 1981.
- QUEIROZ, J.F.; LOURENÇO, J.N.P.; KITAMURA, P.C.; SCORVO-FILHO, J.D.; CYRINO,
- J.E.P.; CASTAGNOLLI, N.; VALENTI, W.C.; BERNARDINO, G. 38 Aquaculture in Brazil:
- 369 research priorities and potential for further international collaboration. World Aquaculture,
- 370 Baton Rouge, v.36, n.1, p.45-50, 2005.
- 371 ROTTA, M.A. Aspectos gerais da fisiologia e estrutura do sistema digestivo dos peixes
- 372 relacionados a piscicultura. Corumbá: EMBRAPA, 49p. (Documento, 53). 2003.
- 373 ROMBOUT, J.H E TAVERNE THIELE, J.J. Na immunocytochemical and electron
- microscopically study of endocrine cells in the gut and pancreas of stomach less teleost fish.
- 375 Cell Tissue Res., v.227, n.3: p.577-593. 1982.
- 376 ROMBOUT, J. H. W. M.; BOT, H. M. TAVERNE-THIELE, J. J. Immunological importance
- of the second gut segment of carp: characterization of mucosal leucocytes. J. Fish Biol.,
- 378 London, v. 35, p. 167-178, 1985.
- 379 ROMER, A. S.; PARSONS, T. S. Anatomia comparada dos vertebrados. São Paulo: Editora
- 380 Atheneu, 1985.
- RUST, M.B. Nutritional Physiology. In: HALVER, J.H. Fish Nutrition. San Diego: Academic
- 382 Press. p. 367-452. 2002.
- 383 SANTIAGO, C.B., ALDABA, M.B; REYES, O.S. Influence of feeding rate and diet form on
- growth and survival of Nile tilapia (Oreochromis niloticus) fry. Aquaculture, 64: 277-282.
- 385 1987.
- 386 SANTOS, G.C. E ZUCOLOTO, S. Células endócrinas gastrointestinais: breve histórico e
- principais métodos de identificação a microscopia ópitica. Arq. Gastroenterol, v.33, n.1: p.36-
- 388 44, 1999.
- 389 SATO, Y. Indução experimental da desova do surubim Pseudoplatystoma corruscans. In:
- 390 MIRANDA, M.O.T. (Ed.). Surubim. Belo Horizonte: Instituto Brasileiro do Meio Ambiente e
- dos Recursos Naturais Renováveis. v. 19, p. 69-79. 2003.

- 392 SCHWARZ K.K., FURUYA W.M., NATALL M.R.M., GAUDEZ M.C. & LIMA P.A.G.
- 393 Mananoligossacarídeo em dietas para larvas de tilápia. Revista Brasileira de Zootecnia. 40(12):
- 394 2634-2640. 2011.
- 395 SEIXAS FILHO, J. T. Anatomia funcional e sistemas enzimáticos e endócrinos de teleósteo de
- agua doce com hábitos alimentares diferentes. Viçosa, MG: UFV, 175p., Dissertação de
- 397 doutorado em Zootecnia- Universidade Federal de Viçosa. 1998.
- 398 SEIXAS FILHO, J.T.; BR£S, J.M.; GOMIDE, A.T.M.; OLIVEIRA, M.G.A.; DONZELE, J.L.;
- 399 MENIN, E. Anatomia funcional e morfometria do intestino no Teleostei (Pisces) de · gua doce
- surubim (*Pseudoplatystoma coruscans*, 1829). Rev. bras. Zootec, 30(6): 1670-1680. 2001.
- 401 SILVA, N. B.; GURGEL, H. C. B.; SANTANA, M. D.; SILVA, N. M. Histologia do sistema
- digestório de Steindachnerina notonota (Miranda Ribeiro, 1937) (Pisces, Curimatidae), do rio
- 403 Ceará Mirim, Umari distrito de Taipu, Rio Grande do Norte. Boletim do Instituto de Pesca, São
- 404 Paulo, v. 31, n.1, p. 1-8, 2005.

- 405 SILVA, L. P; NÖRNBERG, J. L. Prebióticos na nutrição de não ruminantes. Ciência Rural,
- 406 Santa Maria, v.33, n.5, p.983-990, set-out, ISSN 0103-8478. 2003.
- 407 SIVASUNDAR, A.; BERMINGHAM, E.; ORTÍ, G. Population structure and biogeography of
- 408 migratory freshwater fishes (Prochilodus: Characiformes) in major South American rivers.
- 409 Molecular Ecology, v. 10, p.407-417, 2001.
- SMITH, L.S. Digestion in teleost fish. In: Lectures presented at the FAO/UNPD training course
- 411 in fish feed technology, ADCP/REP/80/11, p.3-17. 1980.
- 412 SOUZA, M.L.R.; MACEDO-VIEGAS E.M.; KRONKA, S.N. Influência do método de
- 413 filetagem e categorias de peso sobre rendimento de carcaça, filé e pele da tilápia do Nilo
- 414 (*Oreochromis niloticus*). Revista Brasileira de Zootecnia, v.28, n.1, p.1-6, 1999.
- 415 URBINATTI, E.C; GONÇALVES, F.D.; TAKAHASHI, L.S. PACU (Piaractus
- 416 mesopotamicus). In: BALDISSEROTO, B.; GOMES, L.C. Espécies nativas para a piscicultura
- 417 no brasil. 2. ed. Santa Maria. Ed da UFSM, Cap. 8, p. 205-244. 2010.
- WILSON, J. M.; CASTRO, L. F. C. Morphology diversity of the gastrointestinal tract in fishes.
- 419 In: CROSSEL, M.; FARRELL, A. P.; BRANER, C. J. (Ed). Fish physiology: the
- 420 multifunctional gut of fish. London: Elsevier, p.2-56. 2011.
- WOOTTON, R. J. Ecology of teleost fishes. London: Chapman and Hall, 1990.

429 430	ANÁLISE HISTOMÉTRICA E DENSIDADE CELULAR DO INTESTINO DE PEIXES COM DIFERENTES HÁBITOS ALIMENTARES
431	
432 433	HISTOMETRY AND CELL DENSITY ANALYSIS OF FISH INTESTINE ACCORDING TO EATING HABITS
434	Bruna Karla Assad Bellinate ^{1*} , Carlos Eurico dos Santos Fernandes ² .
435	
436	¹ Mestranda do Programa de Pós-graduação em Ciência Animal – FAMEZ/UFMS.
437	Email:Bru_karla@hotmail.com
438	² Professor Dr. do Instituto de Biociências (INBIO) – Universidade Federal de Mato Grosso do
439	Sul. E-mail: carlos.fernandes@ufms.br
440	
441	
442	
443	
444	
445	
446	
447	
448	
449	
450	
451	
452	
453	
454	
455	
456	
457	
458	
459	
460	
461	
462	
463	
464	

ANÁLISE HISTOMÉTRICA E DENSIDADE CELULAR DO INTESTINO DE PEIXES COM DIFERENTES HÁBITOS ALIMENTARES

467

468

469

470

471

472

473

474

475

476

477

478

479

480

481

482

483

484

485

486

487

488

489

490

491

492

493

494

495

465

466

Resumo: O objetivo do trabalho foi comparar a densidade celular e as características morfométricas de diferentes porções do intestino em peixes com hábitos alimentares distintos. Foram utilizados 20 espécimes juvenis (n=5) de Piaractus mesopotamicus (onívoro), Pseudoplatystoma corruscans (carnívoro), Oreochromis niloticus (fitoplanctófago) e Prochilodus lineatus (iliófago), oriundos do setor de piscicultura da Universidade Federal de Mato Grosso do Sul (UFMS). Após a eutanásia em eugenol (450 mg L-1), o intestino foi colhido, pesado, medido e fragmentado em 4 regiões, intestino anterior (A), médio anterior (MA), médio posterior (MP) e posterior (P). Após a fixação em solução de formol 10%, os segmentos do intestino foram submetidos ao processamento histológico de rotina em Paraplast (Sigma Aldrich®), cortados em 3 µm e corados com hematoxilina e eosina (H&E), ácido periódico de Schiff (PAS) e azul de alcian (AZ). Foram realizadas imagens digitalizadas (n=3; 5x, 400x e 1000x de magnitude) de cada secção histológica, usadas para mensurar os parâmetros morfométricos utilizando o software Motic Images Plus 2.0 (Motic®). O efeito da espécie com diferentes hábitos foi estimado dentro de cada região (ANOVA, teste de Tukey HSD). Pseudoplatystoma corruscans e Piaractus mesopotamicus apresentaram parâmetros morfométricos na camada muscular externa e camada submucosa superiores (P<0,05) as demais espécies. Na camada muscular interna P. corruscans apresentou resultados superiores (P<0,05). A região média posterior e posterior, O. niloticus obteve menor altura da vilosidade e de lamina própria. Na região anterior, P. corruscans obteve a menor largura da vilosidade. A densidade dos enterócitos variou apenas na região posterior, sendo superior (P<0,05) em P. mesopotamicus e inferior em O. niloticus. Na região média anterior, a densidade dos granulócitos foi superior (P<0,05) em P. lineatus e dos agraculócitos em O. niloticus. A região posterior, P. lineatus apresentou a maior população de granulócitos (P<0,05). A densidade das células caliciformes apresentou-se superior (P<0,05) em P.corruscans nas regiões média posterior e posterior. Com os resultados encontrados é possível concluir que o hábito alimentar das diferentes espécies afeta a densidade celular na mucosa intestinal e características morfométricas do intestino.

Palavras-chave: Células caliciformes, Peixe Carnívoro, Trato Digestivo.

496

497

HISTOMETRY AND CELL DENSITY ANALYSIS OF FISH INTESTINE ACCORDING TO EATING HABITS

500 501

502

503

504

505

506

507

508

509

510

511

512

513

514

515

516

517

518

519

520

521

522

523

524

525

526

499

Abstract: The objective of this work was to compare the cell density and morphometric characteristics of different portions of the intestine in fish with different eating habits. Twenty juvenile (n = 5) specimens of Piaractus mesopotamicus (omnivore), Pseudoplatystoma corruscans (carnivorous), Oreochromis niloticus (phytoplankton) and Prochilodus lineatus (iliophago) were collected from the fishery sector of the Federal University of Mato Grosso do Sul (UFMS). After eugenol eugenol (450 mg L-1), the intestine was harvested, weighed, measured and fragmented in four regions, anterior (A), anterior (MA), posterior (MP) and posterior (P). After fixation in 10% formalin solution, intestinal segments were submitted to routine histological processing in Paraplast (Sigma Aldrich®), cut into 3 µm and stained with hematoxylin and eosin (H & E), periodic acid Schiff (PAS) and alcian blue (AZ). Scanned images (n = 3, 5x, 400x and 1000x magnitude) of each histological section were used to measure the morphometric parameters using Motic Images plus 2.0 software (Motic®). The effect of the species with different habits was estimated within each region (ANOVA, Tukey HSD test). Pseudoplatystoma corruscans and Piaractus mesopotamicus presented morphometric parameters in the outer muscle layer and upper submucosa layer (P < 0.05) in the other species. In the internal muscular layer P. corruscans presented superior results (P < 0.05). The posterior and posterior middle region, O. niloticus, had lower villus height and lamina propria. In the anterior region, P. corruscans had the lowest villous width. Enterocyte density varied only in the posterior region, being higher (P < 0.05) in P. mesopotamicus and lower in O. niloticus. In the anterior medium region, the granulocyte density was higher (P < 0.05) in P. lineatus and the grafts in O. niloticus. The posterior region, P. lineatus presented the largest population of granulocytes (P < 0.05). The density of goblet cells was higher (P < 0.05) in P. coruscans in the posterior and posterior regions. With the results found it is possible to conclude that the dietary habits of the different species affect the cell density in the intestinal mucosa and morphometric characteristics of the intestine.

527

528

Keywords: Goblet cells, Carnivorous Fish, Digestive Tract.

530

529

531

533 Introdução

O sistema digestório sofreu modificações morfológicas durante o processo evolutivo e responde prontamente as pressões de seleção a que os peixes são submetidos (HELFMAN et al., 2009; WILSON e CASTRO, 2011). Assim, ao considerarmos a adaptação das espécies no ambiente de cultivo, controlando suas condições de vida, o sistema digestivo passou a ser objeto de estudos cada vez mais frequentes nas últimas duas décadas (KRAMER e BRYANT, 1995; RASKOVIC et al., 2011).

Variações morfológicas, estimadas pelo emprego das técnicas histométricas tem sido amplamente utilizada nos últimos anos e, no geral, respondem como indicadores fisiológicos frente às mudanças da dieta e ao plano nutricional (FABREGAT et al., 2011; RODRIGUES et al., 2010; SONG et al., 2014). No entanto, o emprego de algumas dessas técnicas visando estabelecer parâmetros funcionais e quantitativos, ainda é pouco explorado de forma sistemática. Os padrões reportados na literatura divergem enormemente de acordo com a metodologia, região do sistema digestório, considerando suas microrregiões e, especialmente, pelas características intrínsecas à fisiologia da espécie. Portanto, emerge a necessidade de estudos padronizados com métodos sistematizados, semi-digitalizados para quantificar as estruturas morfológicas de acordo com a natureza e fisiologia digestiva das espécies (BECKER et al., 2010; SILVA et al., 2015).

A morfologia do trato digestório dos peixes está diretamente relacionada com as características da dieta e o estágio de desenvolvimento do indivíduo (BECKER et al., 2010). Investigação sobre hábitos alimentares por meio de análises morfológicas tem sido empregada para auxiliar na interpretação da dinâmica nutricional nas diferentes espécies de cultivo. (WOOTTON, 1990; SILVA et al., 2005; MONTENEGRO et al., 2011). O aumento no interesse nos estudos morfológicos do sistema digestório dos peixes possibilita o desenvolvimento de uma piscicultura competitiva, apesar de ser comum a criação de peixes sem o conhecimento de suas adaptações acarretando em consequências no custo da produção, deficiência alimentar e alto índice de mortalidade (SANTOS, 1999).

Pesquisas com a morfofisiologia do tubo digestório das espécies é indispensável para embasar estudos direcionados para a sua criação, visando aumentar a produtividade e diminuir custos de produção e mortalidade. Os peixes variam suas características digestórias conforme o habito alimentar, especialmente nos processos de ingestão, digestão e absorção dos alimentos (BALDISSEROTTO, 2009). A existência de espécies com diferentes hábitos alimentares como, por exemplo, planctófagas, herbívoras, frutívoras, iliófagas, carnívoras, onívoras, detritívoras, hematófagos, dentre outras, está diretamente relacionada a necessidade de

adaptação evolutiva e disponibilidade de alimentos no ambiente natural da espécie (CASTAGNOLLI, 1992).

As características anatômicas do sistema digestório dos peixes acham-se em estreita dependência com a natureza dos alimentos, as características do habitat, o estado nutricional e o estádio de desenvolvimento do indivíduo, manifestados, especialmente nesse sistema, por adaptações e modificações (SEIXAS-FILHO et al. 2000).

Considerando a variedade de espécies produtivas, o emprego da análise da histologia funcional do intestino torna-se uma ferramenta interessante e útil para comparação entre espécies, uma vez que possibilita a criação de escalas numéricas reproduzíveis com substancial aumento da sensibilidade na detecção de alterações mínimas entre estruturas teciduais (TRUE, 1996; MARCOS et al., 2012).

Existe uma escassez no número de trabalhos que estudam a morfologia das diferentes regiões do intestino nas espécies de peixes em geral e principalmente em espécies tropicais. Portanto, realizou-se este estudo com o objetivo de analisar as características histométricas e de densidade celular de diferentes regiões do intestino em espécies de peixes com diferentes hábitos alimentares assim como descrever a histologia do intestino de *Pseudoplatystoma corruscans*, *Prochilodus lineatus*, *Piaractus mesopotamicus* e *Oreochromis niloticus*. Além disso, comparou-se padrões histométricos e a densidade celular entre distintas regiões do intestino a fim de se estabelecer relações entre as características biométricas, histométricas e densidade celular entre regiões do intestino para cada espécie.

Material e Métodos

O estudo foi conduzido no Laboratório de Patologia Experimental (LAPEx) do Instituto de Biociências (INBIO) da Universidade Federal de Mato Grosso do Sul (UFMS). Foram utilizados espécimes juvenis de *Prochilodus lineatus* (detritívoro n=5), *Piaractus mesopotamicus* (onívoro n=5), *Pseudoplatystoma corruscans* (carnívoro n=5) e *Oreochromis niloticus* (fitoplanctófago n=5), provenientes da estação experimental de piscicultura da UFMS/FAMEZ.

Todos os procedimentos experimentais foram aprovados pela Comissão de Ética no Uso de Animais (CEUA) da Universidade Federal de Mato Grosso do Sul – UFMS (Protocolo nº 976/2018).

Os espécimes foram acondicionados durante todo o período de adaptação (15 dias) em aquários com 1.540 L, medindo 90 cm altura x 90 cm de largura x 190 cm de comprimento,

contendo sistema de aeração artificial, termostato, com renovação de 50% da água a cada dois dias. Foram alocados uma espécie por vez no aquário. Todos os espécimes receberam ração comercial extrusada de acordo com o hábito alimentar, duas vezes ao dia até saciedade (Tabela 1).

Tabela 1. Biometria e composição nutricional de rações comerciais fornecidas de acordo com a espécie.

	Espécies						
Biometria	P. lineatus	P. mesopatamicus	P. corruscans	O. niloticus			
Peso (g)	218,64 ±16,42	430,28 ±33,59	273,76 ±39,36	270,66 ±58,20			
Comprimento padrão (cm)	$17,86 \pm 0,57$	$25,5 \pm 2,47$	29.8 ± 0.71	21,24 ±0,99			
Composição nutricional							
Umidade g/kg (máx)	120	120	120	120			
Proteína Bruta g/kg (min)	280	320	420	280			
Extrato Etéreo g/kg (min)	40	60	80	40			
Matéria Mineral g/kg (máx)	130	130	130	130			
Energia digestível kcal/kg (min)	2800	3000	3500	2800			
Cálcio g/kg (min)	10	10	10	10			
Cálcio g/kg (máx)	25	30	35	25			
Fósforo mg/kg (mín)	9000	9000	15000	9000			
Vitamina C mg/kg (mín)	150	200	350	150			

A qualidade da água foi analisada no período matutino, sendo mensurados a temperatura (°C), oxigênio dissolvido (OD), pH e condutividade elétrica (ms/cm²) por meio de um medidor portátil (SANXIN SX751®). Os parâmetros de qualidade da água apresentaram valores médios: temperatura de 27,1 \pm 0,6°C, oxigênio dissolvido de 4,8 \pm 0,8 mg L⁻¹ e pH 7,05 \pm 0,2, os valores permaneceram dentro da faixa de conforto recomendada para cada espécie estudada (BOYD, 1990).

Ao término do período de adaptação, os peixes permaneceram em jejum no período de 48 horas para posterior realização da biometria e abate. Os peixes foram anestesiados em solução de eugenol (50 mg L⁻¹), até atingirem o estágio de anestesia cirúrgica, seguido da eutanásia dos peixes por meio de aprofundamento do plano anestésico em solução eugenol na concentração de 450 mg L⁻¹ (KILDEA et al., 2004), para posterior análise biométrica e histológica. Em seguida, foram mensurados o peso (g), comprimento padrão (cm) e a retirada

do intestino, para obtenção do peso do intestino (g), comprimento do intestino (cm), quociente intestinal (QI = comprimento do intestino (cm) / comprimento padrão (cm)) e o índice somático intestinal (ISI= (peso do intestino/ peso corporal do peixe) x 100)). O intestino foi esvaziado com uso de uma seringa contendo água para não interferir no peso do órgão e no índice somático intestinal. Para as análises histológicas, fracionou-se o intestino em quatro porções, de forma que todas mantivessem mesmo comprimento em cm. Os fragmentos foram classificados em anterior (A); médio anterior (MA); médio posterior (MP) e posterior (P), de acordo com a Figura 1.

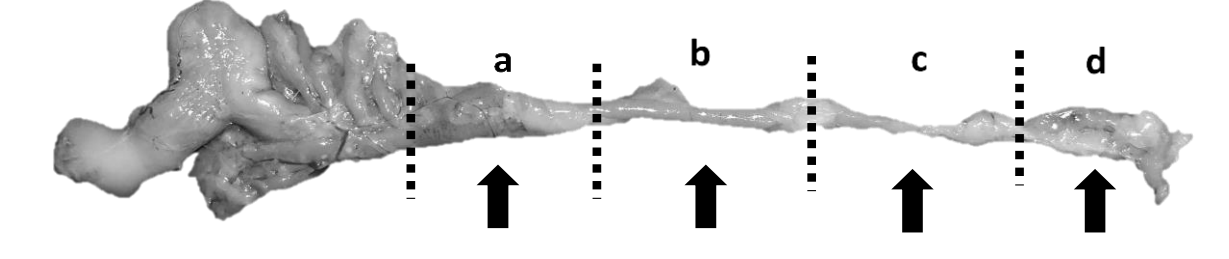


Figura 1. Representação esquemática da colheita de fragmentos do intestino em uma espécie de peixe carnívoro. Linhas pontilhadas representam as subdivisões do intestino; setas representam o local para colheita do fragmento tecidual; **a**, região anterior; **b**, região média anterior; **c**, região média posterior; **d**, região posterior.

As regiões centrais de cada fragmento (transversal e longitudinal) foram fixadas em solução de formolina 10% tamponada (pH 7,2) durante 24 horas. Posteriormente, os fragmentos foram transferidos para solução de álcool 70 GL onde permaneceram até o momento do processamento histológico. Secções histológicas foram preparadas para cortes em Paraplast (Sigma Aldrich®) com espessura de 3 µm em micrótomo rotativo (Zeiss HYRAX M25, Germany). Todas as secções foram coradas em Hematoxilina e Eosina (H&E), Ácido Periódico de Schiff (PAS) e Azul de Alcian (AZ). Imagens digitalizadas (n=3, magnitude 5, 400 e 1000x) de cada secção longitudinal e transversal de cada região foram captadas digitalmente em uma câmera Nikon D3100 adaptada (P95-T2 1,6x DSLR, Zeiss) em microscópio ótico de campo claro (Primo Star, Zeiss).

Para a análise histométricas das secções, considerou-se a medida do diâmetro total (μm) nas imagens de magnitude de 5x. A espessura e largura da vilosidade (μm), espessura e largura da lâmina própria (μm), espessura da camada muscular interna e externa (μm), espessura da camada submucosa (μm) e espessura da camada mucosa (μm) foram mensuradas em três conjuntos de vilosidade por secção/região. A área e o perímetro (μm) do núcleo e do citoplasma

dos enterócitos e a área (μ m²) das células caliciforme (n=30/secção) foram mensurados em imagens de 1000 x de magnitude. A área nuclear e citoplasmática dos enterócitos foi usada para o cálculo da relação núcleo/citoplasma (RNCEnt. = área do núcleo (μ m²) /área do (citoplasma (μ m²) x 100), segundo Andrade et al. (2017)).

As imagens (n=3 por secção/região, 400x de magnitude) foram utilizadas para análise da densidade celular (cels. /mm²). Para isso foram selecionadas aleatoriamente cinco vilosidades em cada secção histológica onde mensurou-se a área (μm²) total de cada vilosidade para contagem das células enterocíticas, caliciformes, granulocíticas e agranulocíticas. Os valores obtidos foram convertidos mm² (HEDRERA et al., 2013).

Os dados biométricos, histométricos e de densidade celular foram submetidos à análise de covariância, modelo linear multivariado, para efeito principal de espécie (fixo) e regiões (aleatório) e interação, configurando um esquema fatorial 4 x 4. O peso dos espécimes foi usado como covariável. O software SPSS 23 foi usado para as análises.

Resultados Resultados

O peso corporal do *P. mesopotamicus* (430,28 ±33,59) foi superior (P<0,05) aos demais peixes, *P.corruscans* (273,76 ±39,36), *O. niloticus* (270,66 ±58,20) e *P. lineatus* (218,64 ±16,42) não diferiram entre si. O comprimento padrão dos animais apresentam variações conforme a anatomia das espécies. Já o peso e comprimento do intestino da *O. niloticus* apresentou-se maior que os demais peixes. O quociente intestinal e o índice somático intestinal em *O. niloticus* foi superior aos demais peixes, sendo que *P. corruscans* obteve o menor quociente intestinal, sendo cerca de 80% inferior comparado com os outros peixes. A figura 2 mostra os gráficos com os dados da biometria das espécies estudadas:

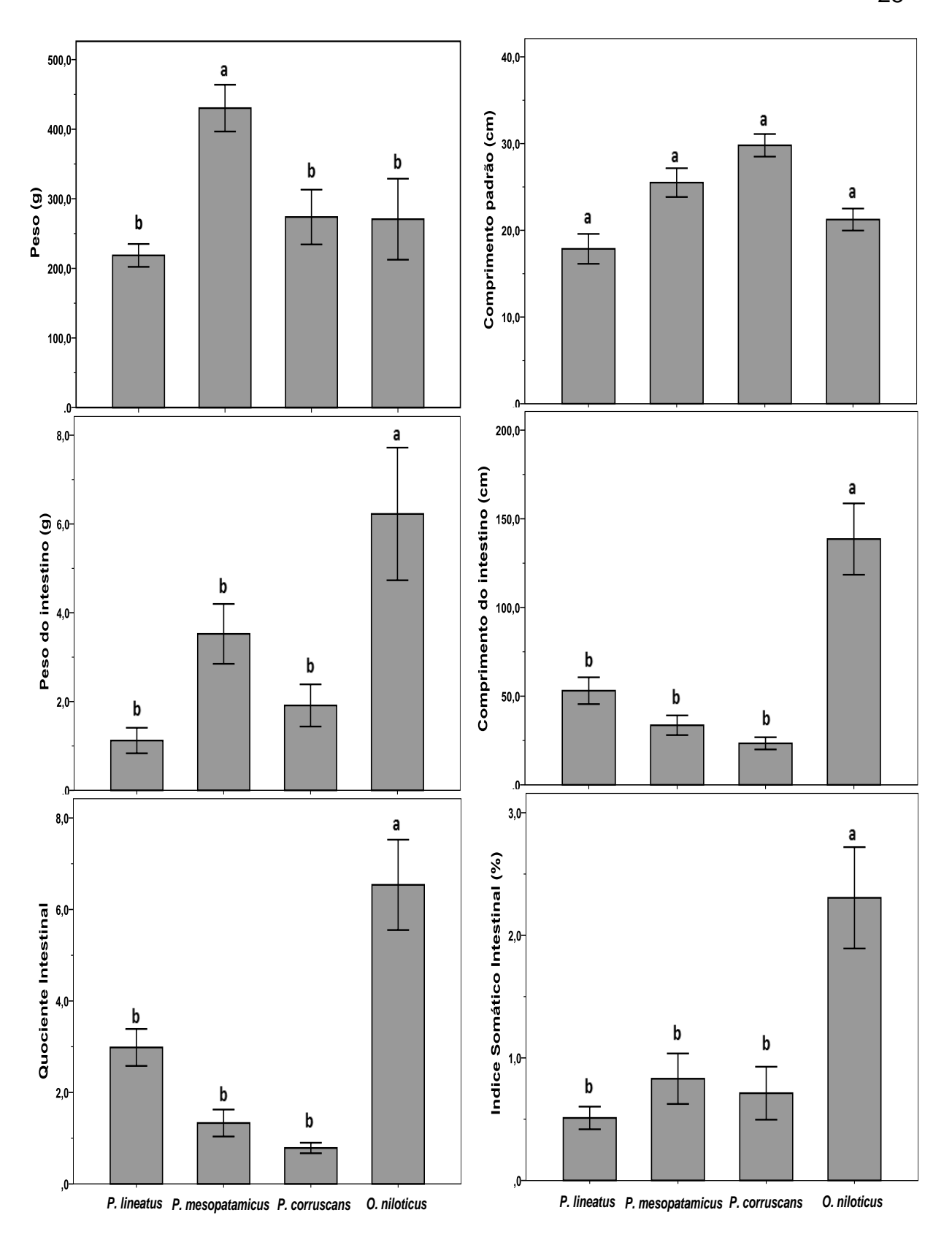


Figura 2. Média e respectivos desvios padrões para variáveis biométricas obtidas em diferentes espécies de peixes de acordo com o hábito alimentar. Médias seguidas por letras distintas diferem entre tratamentos (P<0.05).

Tabela 2- Efeito principal de espécie, região do intestino e efeito interativo para variáveis histométricas e de densidade celular.

Nos resultados da análise de variância houve diferenças significativas entre as espécies

para todas as variáveis histométricas e de densidade celular. No entanto, apenas a variável

densidade celular do agranulócitos diferiu significativamente entre as regiões. Houve interação

espécie x região para as variáveis diâmetro do intestino, espessura da camada muscular interna,

e para todas as variáveis de densidade celular (Tabela 2).

	Espécie		Região		Interação (espécie x região)	
Histometria (µm)	F	P	F	P	F	P
Diâmetro Intestino	7,08	0,010	2,79	0,102	3,43	0,002
Exp. da Muscular externa	106,3	0,001	1,21	0,359	1,08	0,384
Exp. da Muscular interna	37,16	0,001	0,52	0,679	2,34	0,024
Exp. da Submucosa	44,99	0,001	0,616	0,622	1,310	0,250
Exp. da Mucosa	4,006	0,046	0,827	0,512	0,936	0,500
Exp. da Vilosidade	5,530	0,020	0,676	0,589	1,579	0,141
Larg. da Vilosidade	21,999	0,001	1,318	0,328	0,365	0,948
Exp. da Lâmina Própria	4,263	0,039	0,898	0,479	1,686	0,111
Larg. da Lâmina Própria	20,976	0,001	0,482	0,703	0,638	0,760
Densidade celular (x10 ⁶ /mn	n ²)					
Enterócitos	11,223	0,001	0,820	0,484	2,740	0,005
Granulócitos	45,536	0,001	0,463	0,709	4,915	0,001
Agranulócitos	27,058	0,001	3,917	0,009	3,873	0,001
Células caliciformes	7,811	0,001	0,939	0,422	5,959	0,001

Espécie: *P. lineatus, P. mesopatamicus, P. corruscans e O. niloticus*. Região: anterior, média anterior, média posterior e posterior. F: estatística. P: p-value.

Análises morfométricas

Na região anterior e média anterior, *P. lineatus* apresentou o menor diâmetro do intestino se comparado com os demais peixes. Na região média posterior e posterior, *P. mesopotamicus* apresentou maior diâmetro do intestino

A espessura da camada muscular externa e interna, na região anterior, média anterior, média posterior e posterior, *P. corruscans* apresentou maior (P<0,05) espessura que os demais, *P. mesopotamicus* manteve resultados significativamente superior que *P. lineatus* e *O. niloticus* nas respectivas regiões.

Na camada submucosa, *P. mesopotamicus* apresentou resultados superiores (P<0,05) em todas as regiões. Na camada mucosa os resultados não diferiram, exceto na região anterior, *P. lineatus* apresentou menor espessura da camada mucosa (Tabela 3).

Tabela 3- Valores médios (± epm) de medidas morfométricas de acordo com a região do intestino e espécies de peixes com diferentes hábitos alimentares.

		Espécies				
Medidas morfométricas	Região	P. lineatus	P. mesopatamicus	P. corruscans	O. niloticus	
	Anterior	1231,1 ±57,4 ^b	2130,3 ±140,9 ^a	2577,4 ±209,6 ^a	1997,3 ±248,3 ^a	
	Média Anterior	$1136,1\pm102,0^{b}$	$2061{,}7\ {\pm}169{,}5^a$	$1802,4 \pm 177,5^{a}$	$1611,0\pm61,6^{a}$	
Diâmetro do intestino (μm)	Média Posterior	1263,6 ±96,3 ^b	2111,5 ±227,5 ^a	$1390,7 \pm 65,0^{b}$	$1541,8\pm 56,6^{b}$	
	Posterior	$1245,8 \pm 126,2^{b}$	$1973,4 \pm 120,8^a$	1384,1 ±147,1 ^b	1257,8 ±116,4 ^b	
	Anterior	16,72 ±3,04 ^b	104,56 ±14,33 ^{ab}	177,38 ±46,45 ^a	31,76 ±3,98 ^b	
E	Média Anterior	17,12 ±1,37°	$117,86 \pm 13,70^{b}$	255,52 ±16,93 ^a	$29,56 \pm 1,09^{c}$	
Espessura camada Muscular Externa (μm)	Média Posterior	$19,52\pm2,29^{c}$	$132,02 \pm 19,99^{b}$	211,68 ±29,95 ^a	$30,18 \pm 4,03^{c}$	
	Posterior	$19,94 \pm 2,70^{\circ}$	$121,80 \pm 9,44^{b}$	$195,04 \pm 7,94^{a}$	$32,78 \pm 4,19^{c}$	
	Anterior	39,94 ±5,07 ^b	126,68 ±14,19ab	334,22 ±55,13 ^a	68,88 ±9,11 ^b	
E	Média Anterior	$34,10\pm1,52^{b}$	$121,30\pm10,49^{b}$	340,40 ±45,66°	$72,88 \pm 11,39^{b}$	
Espessura camada Muscular Interna (μm)	Média Posterior	38,92 ±5,91°	176,12 ±31,23 ^b	215,32 ±55,86 ^a	$48,92 \pm 10,56^{bc}$	
	Posterior	$32,72 \pm 4,37^{c}$	$144,94 \pm 17,20^{b}$	389,34 ±41,29 ^a	$58,52 \pm 7,81^{bc}$	
	Anterior	30,84 ±1,75°	118,08 ±12,10 ^a	80,36 ±2,17 ^b	64,42 ±8,21 ^b	
	Média Anterior	$32,36 \pm 4,49^{c}$	$129,38 \pm 18,10^a$	$85,26 \pm 8,63^{ab}$	$66,62 \pm 10,56^{bc}$	
Espessura camada Submucosa (μm)	Média Posterior	$35,64\pm2,92^{b}$	171,22 ±23,32°	77,62 ±12,23 ^b	$52,50 \pm 5,40^{b}$	
	Posterior	$29,76\pm2,10^{c}$	$161,08 \pm 27,05^{a}$	94,40 ±11,93 ^b	$57,22 \pm 11,41^{bc}$	
	Anterior	46,16 ±3,98 ^b	68,26 ±5,74 ^a	57,26 ±5,87 ^{ab}	50,24 ±4,68 ^{ab}	
Espessura camada Mucosa (μm)	Média Anterior	$55,36 \pm 2,95^a$	$64,40\pm2,94^{a}$	$57,14 \pm 5,04^{a}$	47,90 ±7,91 ^a	
дърсъбита сашаца глисова (µш)	Média Posterior	$51,56 \pm 5,26^a$	$72,48 \pm 5,94^a$	$63,82 \pm 14,57^{a}$	$54,70 \pm 7,87^a$	
	Posterior	$59,96 \pm 8,33^a$	$65,74 \pm 3,62^{a}$	$50,54 \pm 3,26^{a}$	$68,24 \pm 8,10^a$	

Letras distintas entre colunas representam diferenças significativas (P<0,05) entre espécies para mesma região.

Nas regiões média posterior e posterior, *O. niloticus* obteve menor altura da vilosidade e na região anterior, *P. corruscans* obteve a menor largura da vilosidade. Nas regiões média posterior e posterior, *O. niloticus* apresentou menor altura da lamina própria, nas demais região não houve diferença entre os peixes. Nas regiões anterior, média anterior e posterior, o *P. corruscans* apresentou menor largura da lamina própria, na região médio posterior não diferiram os resultados (Tabela 4).

Tabela 4- Valores médios (± epm) da vilosidade e lâmina própria de acordo com a região do intestino e espécies de peixes com diferentes hábitos alimentares.

		Espécies				
Medidas morfométricas	Região	P. lineatus	P. mesopatamicus	P. corruscans	O. niloticus	
	Anterior	317,08 ±44,29 ^a	382,68 ±20,36 ^a	335,92 ±26,01 ^a	306,22 ±13,12 ^a	
Altumo do Vilosido do (um)	Média Anterior	310,62 ±42,44°	$376,92 \pm 15,32^a$	391,94 ±40,68°	$283,22 \pm 18,93^a$	
Altura da Vilosidade (μm)	Média Posterior	$320,78 \pm 44,66^{ab}$	291,58 ±34,92 ^{ab}	$376,42 \pm 8,91^a$	222,36 ±28,41 ^b	
	Posterior	392,44 ±61,5 ^a	$305,80\pm23,61^{ab}$	386,42 ±25,60 ^a	$224,60\pm21,60^{b}$	
	Anterior	$139,80\pm10,85^{a}$	116,08 ±4,00 ^{ab}	86,86 ±4,21 ^b	127,46 ±19,61 ^{ab}	
Lorenno de Vileridade (um)	Média Anterior	140,66 ±20,12 ^a	$101,42 \pm 8,08^a$	$91,24 \pm 8,62^a$	111,20 ±18,43 ^a	
Largura da Vilosidade (μm)	Média Posterior	121,04 ±16,33°	116,32 ±21,13 ^a	87,20 ±5,53 ^a	100,82 ±3,35 ^a	
	Posterior	$135,94 \pm 17,53^a$	$114,78 \pm 18,85^a$	$82,32\pm12,01^a$	$124,38 \pm 7,12^a$	
	Anterior	277,80 ±44,52°	339,14 ±16,87 ^a	259,98 ±27,86 ^a	259,80 ±12,46 ^a	
Altura da Lâmina Própria (μm)	Média Anterior	266,72 ±45,51 ^a	$335,62 \pm 13,31^a$	$323,18 \pm 42,50^a$	$243,16\pm16,77^{a}$	
- ,	Média Posterior	279,78 ±37,32ab	246,02 ±32,41 ^{ab}	$297,90 \pm 9,45^a$	$175,06 \pm 22,83^{b}$	
	Posterior	341,68 ±53,35 ^a	$269,92 \pm 24,60^{ab}$	$290,68 \pm 20,60^{ab}$	$172,14\pm19,65^{b}$	
	Anterior	65,42 ±7,89 ^a	46,28 ±5,68 ^{ab}	35,16 ±5,09 ^b	47,68 ±8,27 ^{ab}	
I answer de I âmine Deámie ()	Média Anterior	$60,84 \pm 5,69^a$	$39,30\pm2,64^{ab}$	$34,02\pm2,75^{b}$	$44,20 \pm 9,50^{ab}$	
Largura da Lâmina Própria (μm)	Média Posterior	$58,26 \pm 7,11^a$	$56,36 \pm 14,42^a$	$31,48 \pm 2,16^a$	$36,44\pm2,70^a$	
	Posterior	$65,46\pm7,70^{a}$	$48,84 \pm 7,95^{ab}$	$28,\!28\pm\!3,\!88^b$	$48,88 \pm 2,29^{ab}$	

Letras distintas entre colunas representam diferenças significativas (P<0,05) entre espécies para mesma região.

713 714

715

716

Análises de densidade celular

717 718

719

720

A densidade dos enterócitos não apresentou diferença significativa entre os peixes na região anterior, média anterior e média posterior. Na região posterior, O. niloticus apresentou resultado inferior (P<0,05) significativamente que os demais (Tabela 5).

721 722

As células granulocíticas, na região anterior não se observou diferença entre os peixes. Nas regiões média anterior, média posterior e posterior, P. lineatus obteve resultados superiores (P<0,05) que os demais peixes. Sendo que na região média posterior, P. corruscans e P. lineatus foram iguais significativamente.

723 724

725

726

As células agranulocíticas, na região anterior, média anterior e média posterior, O. niloticus apresentou resultado superior (P<0,05) significativamente. Já o P. corruscans obteve menor quantidade dessas células se comparado com as demais espécies na região posterior.

As células caliciformes, na região anterior e média anterior, *O. niloticus* apresentou maior (P<0,05) quantidade dessas células que as demais espécies. Na região média posterior e posterior, o *P. corruscans* obteve resultado superior (P<0,05) significativamente. Na região posterior, a *O. niloticus* apresentou a menor quantidade de células caliciformes.

Na região anterior, média anterior e média posterior, o *P.mesopotamicus* apresentou maior (P<0,05) volume das células caliciformes em relação aos demais peixes. Já na região posterior, *P. corruscans* apresentou maior volume (P<0,05) celular (Tabela 5).

Tabela 5- Valores médios (± epm) das medidas de densidade celular e volume de acordo com a região do intestino em espécies de peixes com diferentes hábitos alimentares.

		Espécies				
	Região	P. lineatus	P. mesopatamicus	P. corruscans	O. niloticus	
	Anterior	6.642,3 ±461,50 ^a	7.827,7 ±360,90 ^a	7.327,3 ±520,96 ^a	6.171,5 ±438,47 ^a	
Enterócitos	Média Anterior	$6.957,3 \pm 424,44^{a}$	$8.208,7 \pm 559,28^a$	$7.280,9 \pm 811,70^{a}$	$6.810,3\pm601,73^{a}$	
(céls./mm ²)	Média Posterior	$6.969,3\pm613,85^{a}$	$8.760,1 \pm 457,16^{a}$	6.474,4 ±538,27 ^a	8.139,3 ±1.179,2 ^a	
	Posterior	$7.816,8 \pm 564,88^{ab}$	10.534,3 ±711,14 ^a	$6.225,1\pm354,16^{ab}$	5.563,3 ±410,49 ^b	
	Anterior	588,5 ±68,60°	457,3 ±92,69 ^a	724,5 ±106,36 ^a	411,1 ±92,71 ^a	
Granulócitos	Média Anterior	$1.145,0\pm138,19^{a}$	$232,9 \pm 43,49^{b}$	$392,1\pm72,14^{b}$	$195,7 \pm 68,01^{b}$	
(céls./mm²)	Média Posterior	837,6 ±134,44 ^a	249,9 ±34,91 ^b	725,0 ±144,91 ^a	$163,3 \pm 50,46^{b}$	
	Posterior	$1.077,6\pm129,48^{a}$	$238,4\pm68,97^{b}$	$390,1\pm58,63^{b}$	$187,0 \pm 34,52^{b}$	
	Anterior	3.722,1 ±372,43 ^b	$3.534,2\pm279,46^{b}$	3.843,1 ±265,19 ^b	6.764,5 ±372,43 ^a	
Agranulócitos	Média Anterior	$5.946,1 \pm 496,85^{ab}$	$4.119,2 \pm 367,85^{b}$	$4.890,4\pm624,88^{ab}$	$6.792,5\pm601,34^{a}$	
(céls./mm²)	Média Posterior	$5.047,2 \pm 452,58^{ab}$	$4.286,0\pm214,34^{b}$	4.941,5 ±377,05 ^b	6.977,7 ±881,03°	
	Posterior	$6.052,6 \pm 475,50^{a}$	$5.065,2 \pm 323,69^a$	$2.517,4\pm263,93^{b}$	$5.864,3 \pm 277,36^{a}$	
	Anterior	208,8 ±28,27 ^b	314,1 ±50,75 ^{ab}	222,3 ±41,70 ^b	447,9 ±67,54 ^a	
Células Caliciformes (céls./mm²)	Média Anterior	$213,6 \pm 46,15^{b}$	$262,3 \pm 67,12^{ab}$	328.8 ± 67.54^{ab}	$504,7 \pm 78,71^a$	
(ceis./iiiii)	Média Posterior	$179,6 \pm 52,29^{b}$	271,1 ±52,21 ^b	$645,8\pm58,56^a$	$324,6 \pm 74,44^{b}$	
	Posterior	$376,5 \pm 73,62^{ab}$	332,4 ±93,00 ^{ab}	595,0 ±59,78 ^a	160,9 ±63,91 ^b	
	Anterior	$485,96\pm28,03^{b}$	922,37 ±101,02 ^a	$638,20\pm34,00^{b}$	673,04 ±46,56 ^b	
Volume célula caliciforme	Média Anterior	$477,26 \pm 24,69^{b}$	1226,94 ±125,05 ^a	$860,65 \pm 53,35^{b}$	$506,16 \pm 32,96^{b}$	
(μm^3)	Média Posterior	$270,12\pm20,69^{b}$	$836,69 \pm 83,06^{a}$	$437,50\pm27,88^{b}$	$380,70\pm27,13^{b}$	
	Posterior	$236,50\pm17,31^{b}$	$318,84 \pm 12,52^{b}$	813,09 ±61,11 ^a	$298,14 \pm 15,38^{b}$	

Letras distintas entre colunas representam diferenças significativas (P<0,05) entre espécies para mesma região.

738 Discussão

As diferenças no peso corporal das espécies estão relacionadas com a fase de desenvolvimento de cada peixe, todos os animais utilizados no experimento eram juvenis. O comprimento padrão dos animais apresentaram variações, mas não foram diferentes significativamente, essas variações no comprimento dos peixes se dá ao fato de existir diferenças conforme o hábito alimentar e as caraterísticas anatômicas de cada espécie.

Nos peixes, o comprimento do intestino está diretamente relacionado com o tempo de passagem do alimento (GONÇALVES et al., 2013). O peso e comprimento do intestino dos peixes apresentaram diferenças que estão relacionadas ao hábito alimentar e características do alimento ingerido. Segundo BALDISSEROTTO (2009) os peixes apresentam diversas adaptações do sistema digestório, para ingerir, digerir e absorver os diferentes tipos de alimentos. Os peixes herbívoros têm intestinos mais longos que os carnívoros, enquanto as principais características do trato digestório de peixes carnívoros são estômago grande e intestino relativamente curto (KAPOOR et al., 1975; RODRIGUES et al., 2008). Os intestinos de peixes com o hábito detritívoro apresentam características como comprimento e distribuição das células semelhantes ao do peixe de hábito herbívoro. As variações no comprimento do intestino podem ser compensadas por variações na área da mucosa intestinal e pela variabilidade de tipos celulares encontrada no epitélio dessa mucosa (BORGES et al. 2010).

Segundo WARD CAMPBELL et al., (2005) o quociente intestinal varia entre 1 e 3 nas espécies onívoras e acima de 3 encontrado em espécies herbívoras ou detritívoras. Os valores do quociente intestinal observados para estas espécies estão dentro do esperado para os onívoros, carnívoros, detritívoro e herbívoro. No entanto, esta classificação não pode ser utilizada exclusivamente para se avaliar o hábito alimentar de uma espécie, sendo apenas um estudo complementar em ecologia trófica de peixes. Este parâmetro além de variar conforme o hábito alimentar, sendo maior em detritívoros e herbívoros e em menor, onívoros e carnívoros, pode ainda variar conforme a dieta da espécie, aumentando em períodos de maior atividade alimentar ou até mesmo em função do consumo de alimentos de menor valor nutricional ou de difícil digestão (DRAKE et al., 1984; ZAVALA-CAMIN,1996).

A distribuição dos órgãos do trato digestivo, segundo SEIXAS FILHO et al., (2001), está relacionada com a forma da cavidade peritoneal e com a forma do corpo de cada espécie. O intestino é comumente dividido em intestino anterior, intestino médio e intestino posterior. (HIBIYA, 1982; RODRIGUES et al., 2008). No presente estudo dividimos o intestino em: intestino anterior, médio anterior, médio posterior e posterior. As 4 espécies estudadas

caracterizam-se por apresentar quatro camadas no intestino: a mucosa, a submucosa, a muscular e a serosa.

Com relação à espessura da camada muscular externa e interna, no presente estudo, *P. corruscans* se destacou nos resultados, sendo superior significativamente que as demais espécies, isso se deve ao fato da espessura da camada muscular nos peixes estar associada com o segmento intestinal, espécie, habito alimentar, e concentração de proteína ofertada na dieta (MAKINO, 2010). Já o *P. lineatus* apresentou os menores resultados de espessura das camadas, a camada da mucosa teve espessura mais desenvolvida em relação as outras camadas e verificou-se que aumenta gradativamente a espessura da camada da mucosa ao decorrer das regiões o que também foi encontrado em estudo com *P. lineatus* por MORAES et al (1997), que concluíram que a mucosa bem desenvolvida e elaborada está ligada com a função de absorção de nutrientes.

A mucosa intestinal está relacionada com os processos fisiológicos de digestão e absorção, e as regiões com maior concentração de pregas complexas estão envolvidas nos processos de absorção, devido ao aumento da área efetiva para absorção de nutrientes. (TAKASHIMA e HIBIYA, 1995). Na análise morfométrica da altura de vilosidade do presente estudo, P. corruscans apresentou-se superior e O. niloticus inferior significativamente nas regiões média posterior e posterior do intestino, em relação as demais espécies. As diferenças na altura das vilosidades na região distal do intestino podem ser atribuídas à estratégia de melhorar a absorção dos nutrientes nos peixes carnívoros por exemplo por terem o intestino relativamente curto em relação as espécies herbívoras. KHANNA e MEHROTRA (1971), relataram que a maior complexidade das vilosidades intestinais pode ser encontrada em espécies carnívoras. A complexidades das vilosidades do intestino é descrita como crescente, segundo MENIN, 1988, entre os seguintes hábitos alimentares: onívoro, carnívoro, herbívoro e iliófago. HONORATO et al., (2011) demonstraram correlação positiva entre altura da vilosidade intestinal da O. niloticus, e o nível de proteína ofertado na dieta. RODRIGUES et al. (2012) abordaram que no intestino do A. gigas, popularmente conhecido como pirarucu, peixe de hábito alimentar carnívoro, na porção mais proximal as vilosidades são mais altas que na região distal.

No epitélio de revestimento do intestino das 4 espécies de peixes estudada apresentouse composto principalmente por enterócitos e células caliciformes. Os enterócitos, tipo celular dominante no epitélio intestinal, são as células responsáveis por realizar a digestão final e absorção de nutrientes, apresentando microvilosidades na membrana apical que constituem a borda em escova (WILSON e CASTRO, 2010; HIBIYA, 1982). As microvilosidades aumentam a superfície digestiva do intestino e de transporte dos enterócitos, sendo assim a base

estrutural dos processos digestivos (KUPERMAN e KUS'MINA, 1994). O núcleo está localizado na região central ou ligeiramente basal da célula, e sua estrutura é relativamente constante ao longo do intestino (NOAILLAC-DEPEYRE e GAS, 1976). No presente estudo a densidade dos enterócitos foi constante ao longo do intestino das espécies estudada, na região posterior do intestino, *P. mesopotamicus* apresentou maior concentração em relação com *O. niloticus* sendo diferentes significativamente. Isso se deve ao fato de haver diferenças na espessura e largura das vilosidades entre as espécies e ao decorrer do intestino.

A ocorrência de células caliciformes é uma característica comum do trato digestivo dos peixes. A digestão intestinal depende da secreção de substâncias glicoproteicas das células caliciformes (KOPOOR et al., 1975). As diferentes condições de alimentações e a proteção contra atividade bacteriana está relacionada com a presença das células caliciformes no intestino dos peixes (TIBBETTS, 1997). Nos resultados da densidade das células caliciformes, *P. corruscans*, obteve elevada concentração dessas células ao longo do intestino, aumentado em direção do último segmento do intestino, semelhante ao que foi encontrado por RODRIGUES et al. (2012) em estudo com *A. gigas*, peixe carnívoro, observaram o aumento dessas células em direção ao segmento distal. O maior número de células caliciformes na região distal do intestino pode implicar na necessidade de aumento de proteção para a mucosa e sua lubrificação para a expulsão do bolo fecal (GRAU et al., 1992; MURRAY et al., 1996).

Já *O. niloticus*, espécie herbívora, no presente estudo obteve maior concentração das células caliciformes na região anterior e média anterior, diminuindo a quantidade no segmento médio posterior e posterior. MELLO et al. (2013) estudaram os efeitos da alimentação com probióticos em juvenis de *O. niloticus*, na contagem do número de células caliciformes apresentou diferença significativa entre os tratamentos, nos peixes que receberam o probiótico o número de células caliciformes foi maior que o observado no grupo controle. FERRARI et al., (2006) realizou um estudo comparando a histologia do intestino da *O. niloticus* e *P. scrofa*, tilápia e curimbatá respectivamente e observaram um maior número de células caliciformes no intestino da tilápia, peixe de hábito herbívoro em relação ao peixe de hábito detritívoro. No presente estudo a tilápia apresentou resultados semelhantes, maior número de células caliciformes em comparação com a curimbá, peixe detritívoro.

Os dados de densidade celular dos agranulócitos encontrados no estudo foram expressivos. Essas células provavelmente têm função regulatória, suprimindo a resposta do sistema imune para antígenos intestinais e induzindo simultaneamente uma resposta imune (PABST, 1987). Nas regiões anterior, média anterior e média posterior, *O. niloticus* apresentou resultado significativamente superior, o grande número de agranulócitos na mucosa intestinal de peixes sugere a existência de um sistema imune local, o mucoso (ROMBOUT et al., 1989).

842 Conclusão

A dieta afeta a densidade celular na mucosa intestinal e nas medidas morfométricas do intestino. As variações observadas nas populações de células, especialmente nos granulócitos e agranulócitos, sugerem que as distintas regiões intestinais estudadas apresentam diferenças quanto a função imune e, portanto, possivelmente respondem de forma diferente quando estimuladas. Já as variações observadas na espessura das camadas do intestino e na altura da vilosidade, sugerem que as regiões intestinais estudadas apresentam diferenças que são importantes para o conhecimento e correta divisão do órgão.

O conhecimento da morfologia do intestino das diferentes espécies estudadas se torna importante para futuras pesquisas envolvendo as regiões do intestino, a morfometria das camadas e vilosidades do intestino e a densidade celular das diferentes regiões intestinais.

Agradecimentos

À Coordenação de Aperfeiçoamento de Pessoal de Nível Superior (CAPES) pelo suporte financeiro para a realização do estudo, a equipe do Laboratório de Patologia Experimental (LAPEx) pelo auxílio durante as atividades experimentais, e estação experimental de piscicultura da UFMS pelo fornecimento dos peixes.

Referências Bibliográficas

BALDISSEROTTO, B. Fisiologia de peixes aplicada à piscicultura. Santa Maria: Ed. UFSM. 350p. 2009.

BECKER, A. G., GONÇALVES, J. F.; GARCIA, L. O. Morphometric parameters comparisons of the digestive tract of four teleost with different feeding habits. Ciência Rural, Santa Maria, v. 40, p. 862-866, 2010.

BORGES, A.; SCOTTI, L. V.; SIQUEIRA, D. R.; ZANINI, R.; AMARAL, F.; JURINITZ, D. F.; WASSERMANN, G. F. Changes in hematological and serum biochemical values in jundiá Rhamdia quelen due to sub-lethal toxicity of cypermethrin. Chemosphere, Oxford, v. 69, n. 6, p. 920–926, Oct. 2010.

BOYD, C. Water quality in ponds for aquaculture. Alabama: Birmingham Publiscing, 482p, 1990.

879 CASTAGNOLLI, N. Piscicultura de água doce. Jaboticabal: Funep. 189p. 1992.

DRAKE, P.; ARIAS, A.M.; GALLEGO, L. Biologia de los Mugilideos (*Osteichthyes*, *Mugilidae*) em los enterros de las salinas de San Fernando (Cádiz). III. Hábitos alimentares e

883 relacion com la morfometria del aparato digestivo. Investigación Pesquera, 48(2): 337-367, 884 1984.

885

T.E.H.P.; PEREIRA, T.S.; BOSCOLO, C.N. ALVARADO, J.D.; 886 FABREGAT, 887 FERNANDES, J.B.K. Substituição da farinha de peixe pelo farelo de soja em dietas para

888 juvenis de curimba. Bol Inst Pesc, 37: 289-294. 2011.

889

FERRARI, E. F., AQUINO, S, M. R., COGO, J. C. Estudo histológico do intestino 890 891 Oreochromis niloticus E Prochilodus scrofa: dois peixes de hábitos alimentares diferentes.

892 2006.

893

GRAU, A.; CRESPO, S.; SARAQUESTE, M. C.; GONZÁLEZ CANALES, M. L. The 894 digestive tract of the amberjack Seriola dumerili, Risso: a light and scanning electron 895 microscope study. J. Fish. Biol., London, v. 41, p. 287-303, 1992. 896

897

898 GONÇALVES, A. A. Tecnologia do Pescado: ciência, tecnologia, inovação e legislação. São 899 Paulo: Editora Atheneu, 608p. 2013.

900

HELFMAN, G. S., COLLETTE, B. B.; FACEY, D. E.; BOWEN, B. W. The diversity of fishes-901 Biology, Evolution, and Ecology. USA: Wiley-Blackell, 2009. 902

903

HONORATO, C.A., ASSANO, M., CRUZ, C., CARNEIRO, D.J. & MACHADO, M. R. F. 904 905 Histologia do intestino de tilápia do Nilo alimentados com dietas contendo diferentes fontes de 906 proteína. Nucleus Animalium 5(1):85-92, 2011.

907

908 HIBIYA, T. An Atlas of Fish Histology: Normal and Pathological Features. Tokyo: Kodansha 909 Ltd., 147pp, 1982.

910

KHANNA, S. S.; MEHROTRA, B. K. Morphology and Histology of the Teleostean Intestine. 911 Anatomischer Anzeiger 129: 1-18, 1971. 912

913

KILDEA, M.A.; ALLAN, G.L.; Kearney, R.E. Accumulation and clearance of the anesthetics 914 clove oil and Aqui-STM from the edible tissue of silver perch (Bidyanus bikyanus). 915

916 Aquaculture, v.232, p.265-277, 2004.

917

KOPOOR, B. G.; SMITH, H.; VERIGHINA, I. A. The alimentary canal and digestion in 918 919 teleostets. Advanced Marine Biology, v. 13, p. 109-139, 1975.

920

- KRAMER, D. L.; BRYANT, M. J. Intestine length in the fishes of a tropical stream: 921
- Relationships to diet the long and short of a convoluted issue. Environmental Biology of 922
- 923 Fishes, v. 42, p. 129-141, 1995.

- KUPERMAN, B. I.; KUZ'MINA, V. V. The ultrastructure of the intestinal ephitelium in fishes 925 with different types of feeding. J. Fish Biol., London, v. 44, n. 2, p. 181-193, 1994. 926
- LIMA, F. W. Colonização e morfometria intestinal de lambaris-do-rabo-amarelo Astyanax 927
- 928 altiparanae alimentados com dietas contendo levedura Saccharomyces cerevisiae como
- probiótico, 2014. 929
- MAKINO L. C. Estrutura, Ultraestrutura e Histoquímica do Aparelho Digestório do 930
- Prochilodus lineatus. Análise da Diversidade da Microbiota Intestinal de Prochilodus lineatus 931

- 932 e Pterygoplichthys anisitsi. Tese de Doutorado Universidade Estadual Paulista Centro de
- 933 Aquicultura da UNESP CAUNESP, 92p. 2010.
- 934 MELLO, H., MORAES, J. R. E., NILZA, I. G., MORAES, F. R., OZORIO, R. O. A. Beneficial
- effects of probiotics on the intestine of juvenile Nile tilapia.2013.
- 936 MENIN, E. Anatomia e histologia funcional comparativa do aparelho digestório de seis
- 937 Teleósteo de água doce. São Paulo, SP: USP. 557p. Tese (Doutorado em Anátomofisiologia) -
- 938 Universidade de São Paulo, 1988.
- 939 MPA Ministério da Pesca e Aquicultura
- 940 http://www.mpa.gov.br/#aquicultura/informacoes/producao; acesso 27 de abril de 2017.
- 941 MONTENEGRO, L. A.; DAMASCENO, D. N. F.; ALMEIDA, R. G.; CHELLAPPA, S.
- 942 Biologia alimentar do Synbranchus marmoratus (Bloch, 1795) no açude Marechal Dutra
- localizado no semiárido brasileiro. Biota Amazônia, v. 1, p. 52-60, 2011.
- 944 MORAES, M.F.P.G., BARBOLA, I.F., GUEDES, E.A.C. Alimentação e relações
- 945 morfológicas com o aparelho digestório do "curimbatá", *Prochilodus lineatus*, de uma lagoa do
- 946 sul do Brasil. R. Bras. Zoologia, 14:169-180, 1997.
- 947 MURRAY, H. M.; WRIGHT, G. M.; GOFF, G. P. A comparative histological and
- histochemical study of the post-gastric alimentary canal from three species of pleuronectid, the
- Atlantic halibut, the yellowtail flounder and the winter flounder. J. Fish Biol., London, v. 48,
- 950 p. 187-206, 1996.
- NOAILLAC-DEPEYRE, J.; GAS, N. Electron microscopic study on the gut epithelium of the
- tench (Tinca tinca L.) with respect to its absorptive functions. Tissue Cell, Edinburgh, v. 8, n.
- 953 3, p. 511-530, 1976.
- 954 OSTASZEWSKA, T. et al. Growth and morphological changes in the digestive tract of rainbow
- 955 trout (Oncorhynchus mykiss) and pacu (Piaractus mesopotamicus) due to casein replacement
- with soybean proteins. Aquaculture, v.245, p.273-286, 2004.
- PABST, R. The anatomical basis for the immune function of the gut. Anat. Embryol., 176:135-
- 958 44, 1987.
- 959 RASKOVIC, B. S. Histological methods in the assessment of different feed effects on liver and
- intestine of fish. Journal of Agricultural Sciences, Belgrade, v. 56, n. 1, p. 87-100, 2011.
- 961 ROMBOUT, J. H. W. M.; BOT, H. M. TAVERNE-THIELE, J. J. Immunological importance
- 962 of the second gut segment of carp: characterization of mucosal leucocytes. J. Fish Biol.,
- 963 London, v. 35, p. 167-178, 1989.
- 964 RODRIGUES, A. P. O. MACIEL, P. O. GANECO, L. N. IWASHITA, M. K. P. MORON, S.
- 965 E. Histomorfologia funcional do intestino do pirarucu, *Arapaima gigas* (Cuvier, 1829). 2012.
- 966 RODRIGUES, P. PAULETTI, L. KINDLEIN, J.E.P. CYRINO, E.F. DELGADO; R.
- 967 MACHADO-NETO, Intestinal morphology and histology of the striped catfish
- 968 Pseudoplatystoma fasciatum (Linnaeus, 1766) fed dry diets, Aquaculture Nutrition, 15, 6, (559-
- 969 563), 2008.
- 970 RODRIGUES, S. S.; MENIN, E. Adaptações anatômicas da cavidade buco faringeana de
- 971 Pseudoplatystoma corruscans (Spix e Agassiz, 1829) (Siluriformes, Pimelodidae) em relação
- 972 ao seu hábito alimentar. Revista Ceres, 53(305): 135 146. 2010.

- 973 SANTOS, G.C. E ZUCOLOTO, S. Células endócrinas gastrointestinais: breve histórico e
- principais métodos de identificação a microscopia ópitica. Arq. Gastroenterol. v.33, n.1: p.36-
- 975 44, 1999.

- 977 SEIXAS FILHO, J. T., BRAS, J. M., GOMIDE, A. T. M. et al. Functional Anatomy and
- 978 Morphometry of the Intestine of Fresh Water Teleoste (Pisces) Surubim (Pseudoplatystoma
- 979 coruscans Agassiz, 1829). Rev. Bras. Zootec., v.30, n.6, p.1670-1680, Nov./Dec, 2001.

980

- 981 SILVA, N. B.; GURGEL, H. C. B.; SANTANA, M. D.; SILVA, N. M. Histologia do sistema
- 982 digestório de *Steindachnerina notonota* (Miranda Ribeiro, 1937) (Pisces, Curimatidae), do rio
- 983 Ceará Mirim, Umari distrito de Taipu, Rio Grande do Norte. Boletim do Instituto de Pesca, São
- 984 Paulo, v. 31, n.1, p. 1-8, 2005.

985

- 986 SONG, Z.; LI, H.; WANG, J. et al. Effects of fishmeal replacement with soy protein
- 987 hydrolysates on growth performance, blood biochemistry, gastrointestinal digestion and muscle
- composition of juvenile starry flounder (Platichthys stellatus). Aquaculture, v. 426–427, p. 96–
- 989 104, 2014.
- 990 TAKASHIMA, F.; HIBIYA, T. An atlas of fish histology: normal and pathological features. 2.
- 991 ed. Tokyo: Kondansha Ltda, 195 p. 1995.
- 992 TIBBETTS, I. R. The distribution and function of mucous cell and their secretions in the
- alimentary tract of Arrhamphus sclerolepis krefftii. Journal of Fish Biology, v. 50, n. 4, p. 809
- 994 820, 1997.
- 995 URBINATI, E.C.; GONÇALVES, F.D. Pacu, (Piaractus mesopotamicus), In:
- 996 BALDISSEROTO, B. e GOMES, L.C (Org.). Espécies nativas para piscicultura no Brasil,
- 997 Santa Maria RS, ed. UFSM, 225-255p, 2005.
- 998 ZAVALA-CAMIN, L.A. Introdução aos estudos sobre alimentação natural em peixes.
- 999 Maringá: EDUEM, 129p, 1996.
- 1000 WARD CAMPBELL, B.M.S. et al. Morphological characteristics in relation to diet in five
- coexisting Thai fish species. Journal of Fish Biology, v.67, n.5, p.1266-1279, 2005.

1002

- WILSON, J. M., CASTRO, L. F. C. Morphological diversity of the gastrointestinal tract in
- fishes. In: Grosell M, Farrell AP, Brauner CJ, editors. Fish Physiology vol 30. New York, NY,
- 1005 USA: Academic Press, pp. 1-55, 2010.

1006

WOOTTON, R.J. Ecology of Teleost Fishes. New York, Chapl11an and Hall, 404p. 1990.

1008

- 1010 1011
- 1012
- 1013
- 1014

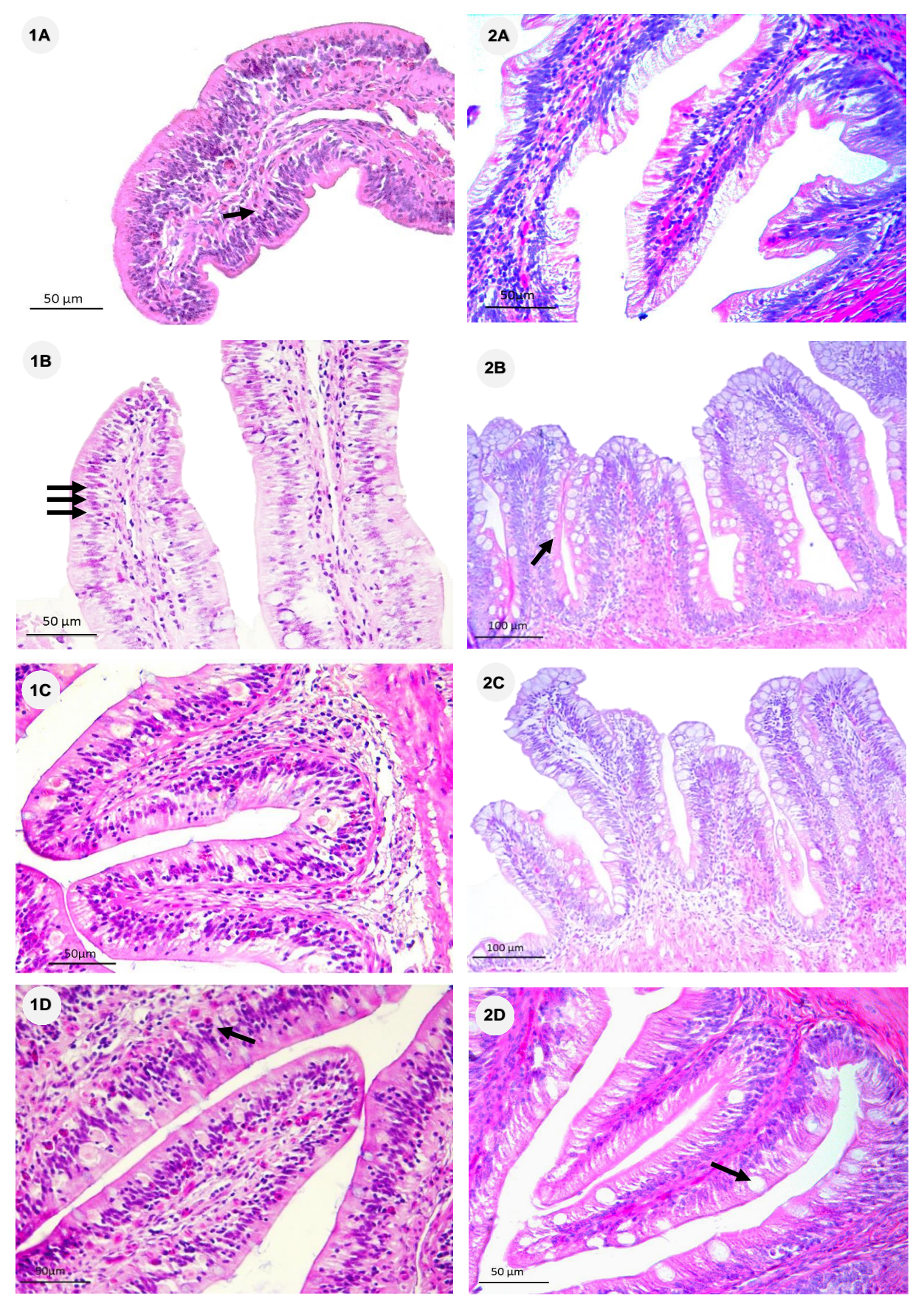


Figura 3. Secções histológicas do intestino de *Prochilodus lineatus* (1) e *Pseudoplatystoma corruscans* (2). 1A e 2A - região anterior do intestino. 1B e 2B - região média anterior do intestino. 1C e 2C - região média posterior do intestino. 1D e 2D - região posterior do intestino. Nas imagens 1A e 1D as setas mostram as células granulociticas presentes no intestino da *Prochilodus lineatus*. Os enterócitos estão representados na imagem 1B (seta). Nas imagens 2B e 2D as setas indicam as células caliciformes presentes no intestino do *Pseudoplatystoma corruscans*.

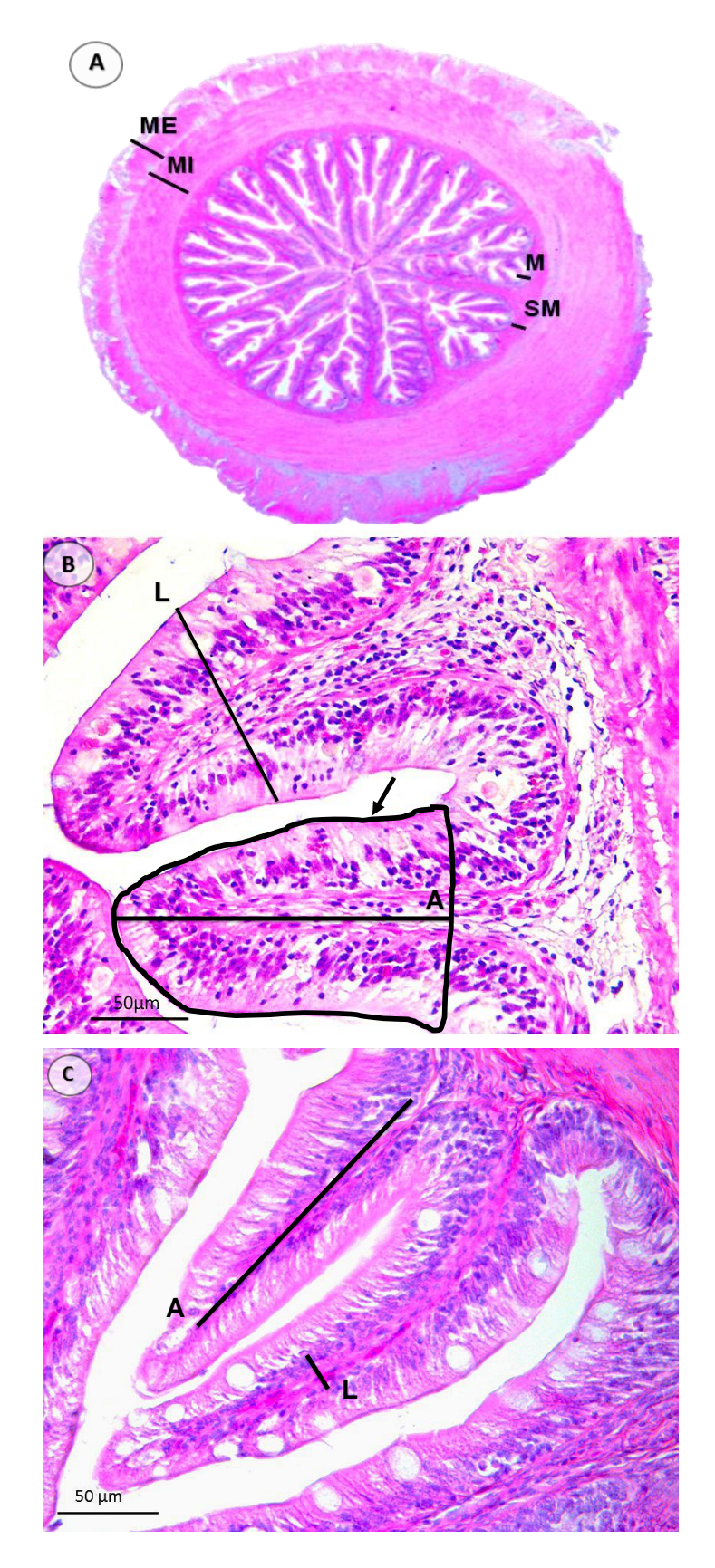


Figura 4. Secções histológicas do intestino de *Pseudoplatystoma corruscans* (A), *Piaractus mesopotamicus* (B), *Prochilodus lineatus* (C). Imagem A - Corte transversal do intestino com respectivas camadas: Camada muscular externa (ME); camada muscular interna (MI); camada submucosa (SM) e camada mucosa (M). (2,5x) H&E. Imagem B - As retas indicam as medidas lineares da altura da vilosidade (A) e largura da vilosidade (L). A seta indica a área da vilosidade. Região anterior, PAS. Imagem C - As retas indicam as medidas lineares da altura da lâmina própria (A) e largura da lamina própria (L). Região média anterior, H&E.